

## VLAK – Bezstratny Kodek Dźwięku

### Wstęp

Na wstępie należy postawić sobie pytanie o celowość tworzenia tzw. bezstratnego kodeka dźwięku. Istnieje bowiem bardzo wiele kodeków, które nie mają tej cechy, a są bardzo popularne (np. MP3), natomiast o kodekach dźwięku „bezstratnych” wiele osób nigdy nie słyszało!

Bezstratność rozumiana jest tutaj jako całkowita zgodność bit po bicie sygnału oryginalnego i zdekompresowanego.<sup>1</sup> Na drugim biegunie znajdują się popularne kodeki, jak MP3, OGG, MPC, które zapewniają tzw. bezstratność percepcyjną, czyli mimo iż sygnał zdekompresowany różni się (często nawet znacznie) od oryginalnego to jednak słuchając go ma się wrażenie iż jest to sygnał oryginalny. Oczywiście jakość sygnału zależy od tego ile bitów zostanie przeznaczonych na taką reprezentację. W takim podejściu wykorzystuje się właściwości ucha ludzkiego i usuwa z sygnału informacje, których człowiek nie słyszy. Niestety nie wszyscy ludzie słyszą tak samo, tak więc być może większości z nas dźwięk w MP3 wystarcza, są jednak jednostki które oprócz świetnego słuchu mają także świetne zestawy HiFi, dla nich MP3 jest nie do przyjęcia.

Zastosowania bezstratnego kodeka dźwięku to między innymi:

- archiwizacja plików wav (przede wszystkim różnego rodzaju muzyki w jakości „cd-audio”)
- profesjonalne przetwarzanie dźwięku (jeśli mamy zamiar poddać dźwięk obróbce cyfrowej, np. redukcji szumów, to kodeki stratne nie nadają się. Zazwyczaj w takich sytuacjach stosowało się po prostu pliki wav, jednak dzięki bezstratnemu kodekowi dźwięku możemy zmniejszyć zapotrzebowanie na miejsce na dysku wymagane przez programy do edycji dźwięku)
- „audiofilskie” (dźwięk w jakości identycznej jak cd-audio)
- bootlegi (większość nagrań koncertowych jest dystrybuowana przez fanów w formacie bezstratnym, wynika to z tego iż dla nagrań na żywo kodeki stratne nie działają zbyt dobrze, a poza tym pozwala to na nagranie na CD w jakości cd-audio a nie „fake cd-audio” ;-)
- odtwarzacze przenośne (kilka nowszych modeli odtwarzaczy przenośnych potrafi już odtwarzać pliki w bezstratnych formatach audio, przykładowo iPod używa formatu opracowanego przez Apple, a inne firmy próbują wdrożyć obsługę formatu FLAC)

Można więc zaobserwować że formaty bezstratne wykorzystywane są tam gdzie wymagany jest dźwięk najlepszej jakości, dlatego też tworząc kodek VLAK przyjęliśmy następujące założenia:

- Zajmujemy się tylko dźwiękiem wysokiej jakości w formacie WAVE PCM (16bit, stereo, o częstotliwości 44100 Hz)
- bezstratność numeryczna (czyli „bit po bicie”)
- przenośność i związana z nią dostępność kodu źródłowego (ANSI C++). Dla bardziej zaawansowanych metod predykcji wymagany jest jednak koprocesor matematyczny

<sup>1</sup> jest to tzw. bezstratność numeryczna

(FPU), co może zawęzić możliwość zastosowania w odtwarzaczach przenośnych.

Wzorowaliśmy się na istniejących już kodekach dźwięku, jednak zazwyczaj ich kod źródłowy był albo niedostępny, albo bardzo nieprzystępnie napisany (zupełny brak komentarzy, wstawki optymalizacyjne w assemblerze, itp. itd.). Dlatego też VLAkA należy uznać za projekt całkowicie wykonany przez nasz zespół.<sup>2</sup>

Poniżej przedstawiamy przegląd interesujących kodeków dźwięku, które zainspiowały nas do zajęcia się tym zagadnieniem.

Kodek FLAC<sup>3</sup> (Free Lossless Audio Codec) jest dynamicznie rozwijany, a jego kod źródłowy udostępniono publicznie (zgodnie z zasadami licencji GPL). Jest on wolny od jakichkolwiek ograniczeń patentowych. Stał się swego rodzaju standardem w środowisku Open Source. Dorównuje efektywnością kompresji najnowszym kodekom i jest przystosowany do wygodnego odtwarzania (np. nieduże wymagania do odtwarzania w czasie rzeczywistym, szybka operacja poszukiwania danej pozycji w strumieniu, wspieranie tzw. tag'ów). Dostępnych jest stosunkowo dużo wtyczek do obsługi tego formatu do wielu z programów odtwarzających muzykę na niemałej liczbie platform sprzętowych. Format ten używa albo predyktorów liniowych z ustalonymi współczynnikami albo metody LPC według algorytmu Levinsona-Durbina. Ciekawostką jest wewnętrzna kontrola integralności poprzez zliczanie wartości sum CRC i MD5 na kilku poziomach. Kodek ten posłużył nam jako wzór do budowy własnego kodeka. W szczególności architektura VLAkA oraz FLACa są bardzo zbliżone (choć oczywiście VLAkA jest znacznie prostszy), także zestaw opracowanych przez nas predyktorów jest bliski temu co jest dostępne we FLACu.

Kodek SHORTEN, napisany przez Tony'ego Robinsona, był jednym z pierwszych kodeków bezstratnych. Początkowo był to projekt studencki, jednak później stał się produktem komercyjnym. W internecie znaleźć można dosyć dobry opis teoretyczny, zawierający wiele ciekawych informacji o predyktorach FIR oraz LPC<sup>4</sup>. Z całą pewnością FLAC (a także VLAkA) jest w dużej mierze oparty na informacjach zawartych w tym dokumencie.

Kodek Monkey's Audio ma nieco większą efektywność kompresji niż FLAC i nie ustępuje mu w większości dziedzin. Jego źródło jest także publicznie dostępne. Początkowo pisany był jedynie pod system Windows. Stosunkowo niedawno powstały implementacje także pod system Linux, w tym wtyczki do kilku popularnych programów odtwarzających muzykę. Jednak ciągle liczba platform umożliwiających odtwarzanie plików w tym formacie jest dość mała. Prawdopodobnie<sup>5</sup> zastosowano w nim predyktor oparty o sieć neuronową. Kodek ten jest popularny w sieciach wymiany plików - wykorzystywany jest przy umieszczaniu w nich obrazów płyt cd-audio.

Kodek La jest swego rodzaju ciekawostką. W testach efektywności na stronie:

<http://flac.sourceforge.net/comparison.html>

jako jedyny wykazuje średni współczynnik kompresji poniżej 50% (dokładnie 0.4986). Jednak

2 są od tego stwierdzenia dwa wyjątki: funkcja wyliczająca współczynniki w metodzie LPC – zaczerpnięta z libFLAC, ponieważ napisana „od zera” w oparciu o algorytm Levinsona-Durbina nie działała poprawnie oraz kod dla predyktora Wavelet, który został przez nas tylko doprowadzony do stanu zgodności z ANSI C++, co wcale nie było zadaniem łatwym!

3 <http://flac.sourceforge.net/>

4 <http://mi.eng.cam.ac.uk/reports/ajr/TR156/tr156.html>

5 kod źródłowy tego kodeka, jest całkowicie pozbawiony komentarzy. Klasa implementująca predyktor nazywa się NNFilter, co najprawdopodobniej jest skrótem od Neural Network Filter

kosztem tego jest nawet dziesięciokrotnie dłuższy czas kompresji oraz dekompresji, co może uniemożliwiać jego zastosowanie do odtwarzania w czasie rzeczywistym. Opis teoretyczny tego kodeka można znaleźć na stronie:

<http://www.lossless-audio.com/theory.htm>

Według niego dobre rezultaty kompresji La zawdzięcza innowacyjnemu sposobowi kodowania sygnału rezydualnego.

Stosunkowo niedawno powstały także kodeki bezstratne opracowane przez duże i znane firmy. Microsoft dodał możliwość bezstratnej kompresji do WMA (Windows Media Audio), a Apple utworzył format ALAC (Apple Lossless Audio Codec)<sup>6</sup>.

## Struktura kodeka



Każdemu etapowi kompresji towarzyszą odpowiednie klasy lub interfejsy. Najważniejsze pojęcia to:

- blok** fragment pliku wav, zawierający N próbek dla każdego z kanałów. Jest implementowany przez klasę `CBlock`
- predyktor** klasa odpowiedzialna za stworzenie reprezentacji pośredniej bloku, która byłaby bardziej podatna na kompresję. Jej zachowanie definiuje interfejs `IPredictor`. VLAK dostarcza kilku predyktorów, które charakteryzują się różną efektywnością
- ramka** reprezentacja pośrednia bloku danych. Po poddaniu jej kompresji jest serializowana do pliku vlak. Wynika stąd, że każdemu blokowi odpowiada dokładnie jedna ramka. Przykładowo w ramce zapisane są współczynniki dla predyktora oraz tzw. sygnał rezydualny. Operacje jakie mogą zostać wykonane na ramce definiują interfejsy `IFrame` oraz `ICompressedFrame`

<sup>6</sup> [http://en.wikipedia.org/wiki/Apple\\_Lossless\\_Encoding](http://en.wikipedia.org/wiki/Apple_Lossless_Encoding)

## Opis faz kompresji

W tym miejscu chcieliśmy przedstawić dokładniejszy opis każdej z faz kompresji kodeka VLAK.

### Podział sygnału na bloki

Strumień próbek dzielony jest na fragmenty o równej długości, czyli na tzw. bloki. Pojęcie bloku odpowiada pojęciu kontekstu w kompresji danych. W każdym bloku znajduje się więc  $N$  próbek dla każdego z kanałów. W tej fazie kompresji kanały odzwierciedlają zawartość pliku WAV, a więc będą to 2 kanały: Lewy i Prawy. Za podział na bloki odpowiadają klasy implementujące interfejs `IBlocksProvider`.

Otwartym zagadnieniem jest wybór najlepszego rozmiaru bloku. VLAK pozwala wybrać rozmiar bloku jako parametr kompresora, nie potrafi jednak dobierać go adaptacyjnie. Nie każdy rozmiar bloku jest sensowny, istnieją bowiem wewnętrzne ograniczenia rozmiaru bloku do około 64KB, a dodatkowo niektóre rozmiary mogą być preferowane przez niektóre predyktory.<sup>7</sup> W dalszej części sprawozdania znajdują się porównania jak rozmiar bloku wpływa na efektywność kompresji.

### Dekorelacja międzykanałowa sygnału

W wielokanałowych plikach dźwiękowych wartości próbek w sąsiednich kanałach są zwykle silnie skorelowane. Dlatego dobre rezultaty daje zastąpienie kanałów lewego i prawego przez kanały middle i side:

$$middle[n] = \frac{left[n] + right[n]}{2}$$

$$side[n] = left[n] - right[n]$$

Wartość  $middle[n]$  jest obcinana do najbliższej liczby całkowitej “w dół”. Taka transformacja pozwala na bezstratne odtworzenie wartości oryginalnych a prowadzi do znacznego zwiększenia efektywności kompresji bardzo niewielkim kosztem.

Tak działa manipulator `CMidSideChannelManipulator`. Jednak powstaje mały problem: różnica dwóch 16-bitowych próbek może mieć długość 17 bitów (dotyczy to tylko kanału side). Taki sygnał zwiększa swoją długość i jest ponadto trudniejszy do obróbki. Dlatego otrzymane różnice są obcinane do 16 bitów. W praktyce dla sygnałów dźwiękowych sytuacja nieodwracalnego przekształcenia następuje przy tym niesłychanie rzadko (w badanych przez nas przypadkach nigdy nie wystąpiła). Jednak teoretycznie może mieć miejsce. Aby wyeliminować tę możliwość wprowadziliśmy `CAdaptiveChannelManipulator`, który najpierw bada daną ramkę, czy przekształcenie z `CMidSideChannelManipulator`'a jest dla niej bezstratne. Jeśli tak, używa go. Jeśli natomiast nie, używa `CSimpleChannelManipulator`'a, czyli przekształcenia tożsamościowego. Informacja o użytym manipulatorze jest przy serializacji zapisywana w nagłówku ramki.

`CSimpleChannelManipulator`'a można także użyć w celach testowych, aby sprawdzić stopień poprawy jakości kompresji przy przekształceniu na sygnał mid-side.

<sup>7</sup> przykładowo Wavelet powinien pracować na ramkach o rozmiarach będących potęgami dwójki.

## Predykcja

### FIR

Podobny schemat predykcji był po raz pierwszy użyty w kodeku Shorten. Informacje na jego temat można znaleźć pod adresem:

<http://www.hpl.hp.com/techreports/1999/HPL-1999-144.pdf> (strona 22)

Jest to bardzo proste koncepcyjnie rozwiązanie, które sprawdza się tam, gdzie zależy nam bardziej na szybkości algorytmu niż na stopniu kompresji. Wartość każdej kolejnej próbki jest tam przewidywana na podstawie trzech poprzednich próbek według zawsze tego samego wzoru:

$$x'[n] = 3x[n-1] - 3x[n-2] + x[n-3]$$

Jedynie trzy pierwsze próbki z każdego bloku wymagają zapisania w ramce przez dokładne ich wartości. Dla pozostałych zapisujemy różnice  $x[n] - x'[n]$ , czyli sygnał residualny.

### LPC

LPC (Linear Predictive Coding) jest stosunkowo popularną techniką kompresji oraz syntezy mowy. Dla przykładu LPC jest wykorzystywane w standardzie GSM. W porównaniu do współczesnych metod kompresji mowy (a tym bardziej muzyki) jest to metoda raczej słaba, dlatego też kompresja (stratna) mowy z jej wykorzystaniem jest już rzadkością.

Predykcja polega na znalezieniu  $m$  współczynników liniowego aproksymatora sygnału dla których suma błędów średniokwadratowych reprezentacji będzie minimalna. Wartość sygnału przewidywanego w chwili  $t$  jest liniową kombinacją poprzednich  $m$  próbek:

$\hat{s}(t) = \sum_{i=1}^m a_i s(t-i)$ . Minimalizacji średniokwadratowej podlega sygnał rezydualny:  $e(t) = s(t) - \hat{s}(t)$ . Do tego celu potrzebna jest nam macierz autokorelacji sygnału. Do wyliczenia współczynników predyktora wykorzystuje się algorytm Levinsona-Durbina.<sup>8</sup>

Dla metody tej istotnym zagadnieniem jest dobór optymalnego rzędu predyktora. VLAK obsługuje dwa podejścia: adaptacyjne oraz nieadaptacyjne.

Metoda nieadaptacyjna jest bardzo prosta – rząd predyktora jest podawany jako parametr predyktora i nie ulega ona zmianie w trakcie kompresji. Oczywiście takie podejście ma kilka istotnych wad: przede wszystkim bloki sygnału mogą mieć zupełnie inną charakterystykę, być może więc dla niektórych z nich ustalony rząd będzie niepotrzebnie wysoki, co spowoduje wzrost rozmiaru ramki (gdyż za dużo będzie współczynników predyktora a sygnał rezydualny nie będzie bardziej podatny na kompresję) oraz czasu obliczeń (gdyż zależy on od rzędu predyktora). Podany rząd może być także zbyt niski w sytuacji gdy w bloku „dużo się dzieje”.

Rozwiązaniem powyższych problemów jest metoda adaptacyjna. Polega ona na wyborze rzędu predyktora z przedziału  $\langle minOrder, maxOrder \rangle$  stosownie do charakteru analizowanego bloku próbek. Czas obliczeń jest określony przez maksymalny rząd predyktora. Koncepcja tej metody jest atrakcyjna, dobre rozwiązanie jest jednak trudne do uzyskania.

We VLAKu rząd predyktora ustalany jest na podstawie oszacowania rozmiaru sygnału rezydualnego po kompresji. Dla każdego rzędu predyktora z ustalonego przedziału estymowany jest parametr  $k$  kodera Rice'a, czyli minimalny rozmiar w bitach każdej zapisywanej próbki i na

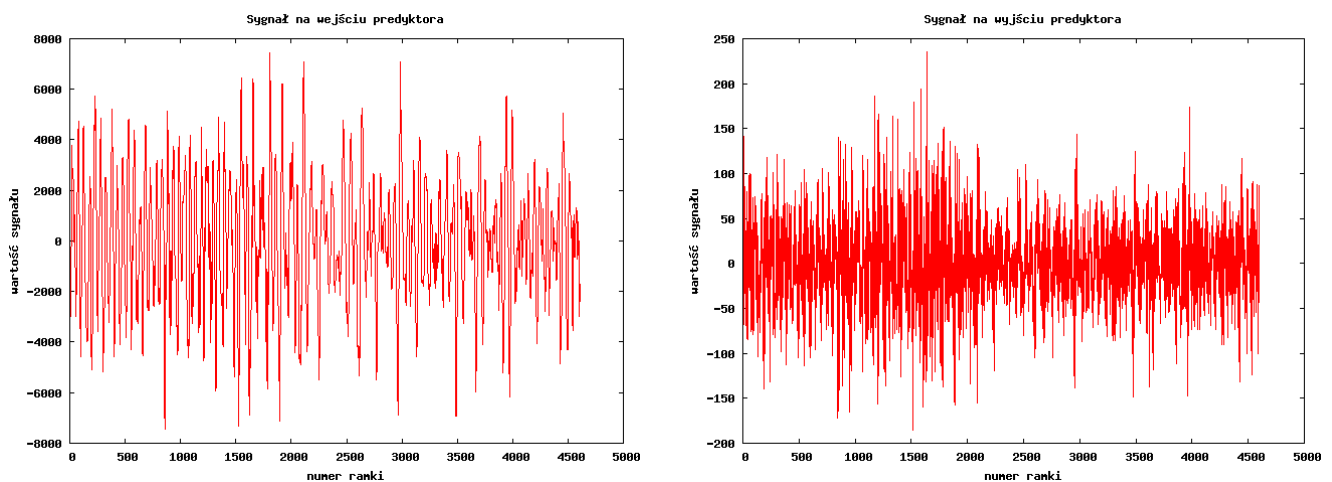
<sup>8</sup> więcej informacji można znaleźć na stronach: [http://en.wikipedia.org/wiki/Linear\\_prediction](http://en.wikipedia.org/wiki/Linear_prediction) oraz <http://cnx.rice.edu/content/m10482/latest/>

podstawie tej informacji wyliczany jest przewidywany rozmiar skompresowanej ramki. Następnie wybierany jest rząd dla którego rozmiar ten jest najmniejszy.

Można wyobrazić sobie także inne schematy:

- w koderze SHORTEN jeśli 2 kolejne rzędy nie poprawiają stopnia kompresji to wyszukiwanie optymalnego rzędu jest kończone.
- w koderze FLAC (jeśli korzystamy z przełącznika -e, stosowanego domyślnie w trybie -8) rozmiary ramek po kompresji są „fizycznie” wyliczane, więc nie ma mowy o estymacji – daje to oczywiście optymalne wyniki jest to jednak czasochłonne.

Poniższy wykres przedstawia przykładowy sygnał na wejściu predyktora oraz sygnał rezydualny na jego wyjściu:



### FFT (metoda autorska)

Podstawową ideą tej metody jest użycie do predykcji widma częstotliwościowego kompresowanego sygnału. Często jest tak, że wiele informacji o sygnale jest zawarte w stosunkowo niewielkiej ilości głównych częstotliwości o najwyższej amplitudzie, a pozostałe mało wnoszą do ogólnego jego przebiegu.

Z teorii sygnałów wiadomo, że dany sygnał ciągły może zostać dokładnie odtworzony, jeśli znamy jego widmo do częstotliwości  $2f_{\max}$ , gdzie  $f_{\max}$  to maksymalna częstotliwość występująca w sygnale. Jeśli natomiast mamy spróbkowany w  $n$  punktach sygnał, to dokładnie opisuje go jego dyskretna transformata Fouriera o  $n$  współczynnikach zespolonych. Przy przetwarzaniu sygnału rzeczywistego (z takim przypadkiem mamy do czynienia w kompresji dźwięku) widmo jest w pewien sposób symetryczne. Na pozycji 0 jest składowa stała, natomiast pozostałe amplitudy są symetryczne względem pozycji  $n/2$  (która jest pojedyncza), przy czym odpowiadające sobie liczby zespolone są ze sobą sprzężone. W efekcie widmo można opisać  $n+2$  liczbami rzeczywistymi. Dodatkowo uwzględniając to, że składowa stała oraz składowa na pozycji  $n/2$  są rzeczywiste, można by zmniejszyć tą ilość do  $n$ , ale nie zostało to zaimplementowane w ten sposób.

Zwykle kompresowanie widma, które w składa się z liczb rzeczywistych prawdopodobnie byłoby mniej efektywne niż kompresja samego sygnału. Dlatego w tej metodzie widmo jest „kwantyzowane” (opis niżej). W wyniku tego w widmie pojawia się wiele zer, a niezerowe

współczynniki można łatwo zapisać jako niewielkie liczby całkowite. Jednak takie widmo nie opisuje już dokładnie oryginalnego sygnału. Dlatego obliczana jest różnica między sygnałem otrzymanym na podstawie skwantowanego widma oraz oryginalnym. Tak powstały sygnał residualny musi zostać dołączony do skompresowanych danych aby umożliwić wierne odtworzenie oryginalnego sygnału.

#### Szczegóły implementacji

##### Kompresja:

- Zespolona dyskretna transformata Fouriera sygnału jest obliczana z użyciem algorytmu FFT.
- Kwantyzacja widma:
  - wszystkie współczynniki są zaokrąglane do najbliższej wielokrotności pewnej liczby (jeden z parametrów predyktora - Qfactor), małe liczby stają się zerami
  - pomijane są współczynniki odpowiadające częstotliwościom o amplitudzie mniejszej niż ustalone minimum, które jest pewnym ułamkiem największej amplitudy (ułamek ten jest również parametrem predyktora - MinRelAmpl)
- Skwantowane widmo po podzieleniu przez Qfactor jest pakowane prostym koderem RLE nastawionym na długie sekwencje zer. Najpierw wyznaczane i zapisywane do strumienia wynikowego są długości leżących na przemian ciągów zer i elementów różnych od zera (przy czym brane są pod uwagę łącznie część rzeczywista i urojona). Następnie zapisywane są kolejne niezerowe elementy (na przemian część rzeczywista i urojona).
- Na podstawie skwantowanego widma wyznaczany jest przewidywany sygnał przy użyciu odwrotnej FFT i obliczany jest sygnał rezydualny zapisywany do strumienia wyjściowego.
- Wszystkie powyższe dane są kompresowane koderem Rice'a
- W każdej ramce dodatkowo przechowywane są: rozmiar oryginalnej ramki oraz wartości parametrów Qfactor i MinRelAmpl

##### Dekompresja:

- Dekompresowane jest skwantowane widmo sygnału.
- Na podstawie widma z użyciem odwrotnej FFT obliczany jest przewidywany sygnał, do którego dodawany jest następnie sygnał rezydualny.

Do obliczania FFT użyłem kodu znalezionego w sieci Internet.

#### Parametry

- Rozmiar bloku – ze względu na użytą implementację FFT powinien być potęgą 2, gdyż w przeciwnym razie zostanie wyrównany do najwyższej większej potęgi 2. Ostatnia ramka zazwyczaj nie ma takiej długości, więc tracimy w niej na wyrównanie.

Blok nie powinien być bardzo duży, gdyż wtedy widmo będzie wyznaczane z długiego odcinka czasu, a wtedy jest większa szansa, że sygnał zmieni charakter – w efekcie otrzymamy wymieszane widma. Z drugiej strony za mały blok spowoduje duży narzut.

Proponowana wartość: 512 – 2048, domyślnie: 1024

- Qfactor – stopień skwantowania widma. Części rzeczywista i urojona widma po kwantyzacji są wielokrotnościami Qfactor. Decyduje on zatem o ziarnistości podziału



skali amplitud.

Proponowana wartość: 8 – 20, domyślnie: 8

- MinRelAmpl – używane do usunięcia częstotliwości o względnie niskiej amplitudzie, które nie wpływają znacząco na sygnał, natomiast bez tego zabiegu musiałyby zostać zapamiętane.

Proponowana wartość: 0,005 – 0,02, domyślnie: 0,01

#### Możliwe ulepszenia

- Adaptacyjny dobór rozmiaru bloku oraz parametrów Qfactor i MinRelAmpl
- Użycie innego koderu entropii do kompresji widma, np. koderu Huffmana
- Nierównomierna kwantyzacja częstotliwości faworyzująca pewne pasma. W zależności od kompresowanych danych mogłyby to być np.: średnie częstotliwości dla mowy, basy dla muzyki, itp.

#### Wavelet

Użyliśmy jako bazy gotowej implementacji odwracalnej transformaty falkowej (w oparciu o algorytm interpolacji liniowej) dostępnej na stronie:

[http://www.bearcave.com/misl/misl\\_tech/wavelets/packet/index.html](http://www.bearcave.com/misl/misl_tech/wavelets/packet/index.html)

Jedynie modyfikacje oryginalnego kodu, których dokonaliśmy, miały na celu umożliwienie jego kompilacji w środowisku systemu Linux i kompilatora gcc.

Wybraliśmy ten konkretny algorytm, gdyż spośród branych przez nas pod uwagę (rozważaliśmy jeszcze algorytm Haara i transformatę TS) dawał najlepszą efektywność kompresji.

Wszystkie algorytmy, które braliśmy pod uwagę do poprawnego działania wymagały podawania im na wejście ciągów o długości równej potęgze dwójki. Gdy dana ramka nie ma takiej długości (zwykle ostatnia ramka jej nie ma) jest sztucznie wydłużona zerami do najbliższej dozwolonej wartości. Aby odtworzyć po dekompresji oryginalny plik dźwiękowy konieczne jest oczywiście zapamiętanie prawdziwej długości takiej ramki.

## Kompresja koderem entropii

### *Idea koderu Rice'a*

Przy bezstratnym kodowaniu dźwięku bardzo ważnym zagadnieniem jest kompresja sygnału rezydualnego, który powstaje na wyjściu predyktora. Zadanie polega na takim zapisaniu 32 bitowych próbek dźwiękowych, aby zajmowały jak najmniej miejsca. Idealnie właśnie pasuje do tego zadania koder Rice'a, który jest szczególnym przypadkiem koderu Golomba.

Na wyjściu predyktora otrzymujemy wartości, które są relatywnie małe (do ich reprezentacji potrzebujemy kilku bitów). Koder Rice'a dzieli wejściową liczbę na dwie części (LSB – least significant bits, MSB – most significant bits) na podstawie parametru 'k' (k – liczba LSB), po czym część MSB zapisuje unarnie, a LSB zostawia nienaruszoną. Następnie na wyjście wypisuje zakodowaną część MSB i po niej LSB.

Np. Załóżmy, że chcemy zakodować binarną liczbę 1010110, mając dany parametr 'k' = 5.



Część LSB, to 10110, część MSB to 10. Po zapisaniu MSB unarnie 110, otrzymujemy na wyjściu liczbę 11010110.

Podstawowymi problemami przy kodowaniu Rice jest zakodowanie dużej liczby przy małym 'k' oraz optymalne dobranie parametru 'k'.

### Kodowanie dużych liczb.

Przy relatywnie małym 'k' i dużej liczbie, może dojść do sytuacji, w której będziemy musieli zakodować unarnie dużą liczbę, np. 159, co spowoduje, że zamiast 32 bitów wejściowych, otrzymamy ponad 159 bitową liczbę. Aby uniknąć takich sytuacji stosujemy następującą metodę:

Gdy liczba wejściowa ('X') jest większa niż ustalona granica ('T'), zapisujemy T bitów '1'.

Następnie zapisujemy  $\text{floor}(\log_2(X-T))$  bitów '1' (jest to liczba bitów, jaką potrzebujemy, żeby zapisać liczbę X-T w normalnym kodzie dwójkowym). Następnie wypisujemy na wyjście liczbę X-T dwójkowo.

W ten sposób ustrzegamy się przed dużymi skokami wejściowych wartości, które 'psują' jakość kompresji.

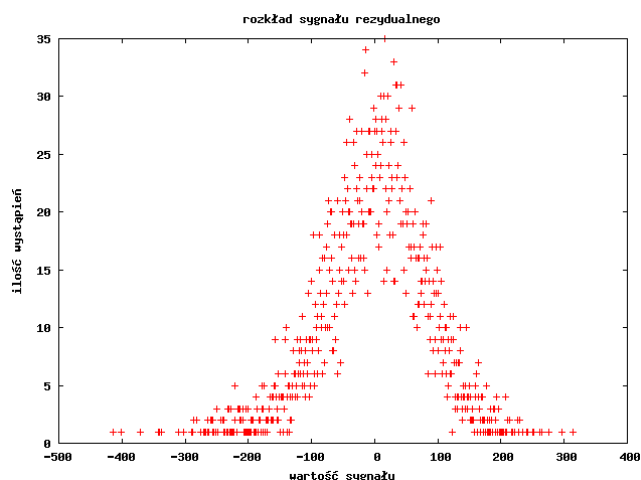
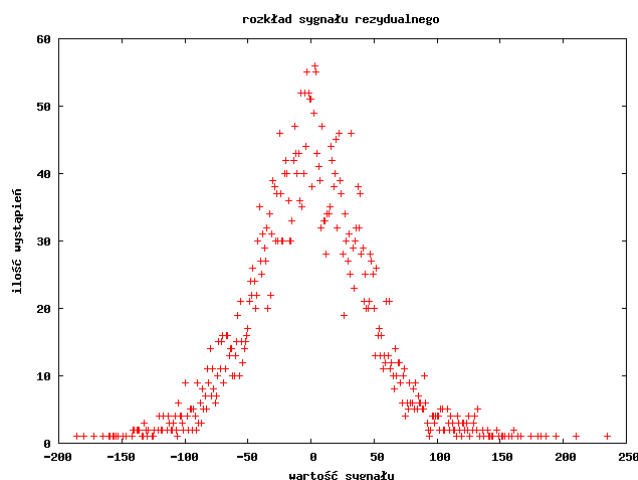
### Optymalny dobór parametru 'k'

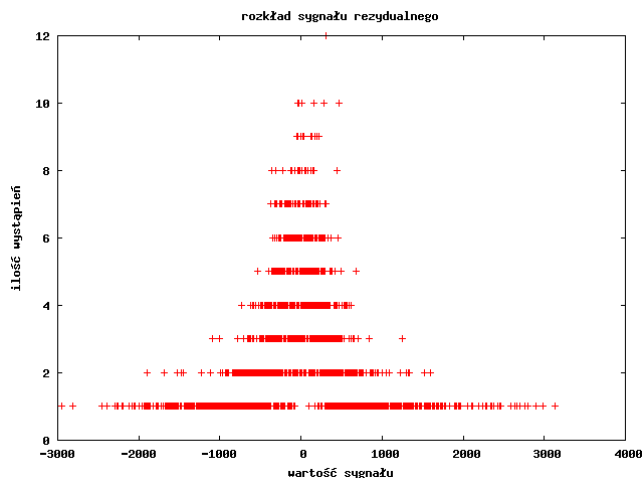
Ze względu na to, że dane wejściowe są silnie zróżnicowane, bardzo trudno jest przyjąć jakąś skuteczną metodę adaptacji parametru 'k'. Przyjęliśmy metodę stosowaną w kodeku *Monkey's Audio*, gdzie analizujemy ostatnie 32 wartości i na ich podstawie przewidujemy optymalny parametr k.

### Zalety kodera Rice'a

Jak już wcześniej wspominaliśmy, koder Rice'a najlepiej sprawuje się w sytuacjach, w których dane na wejściu, są jak najmniejsze. Jak to widać z poniższych przykładowych wykresów sygnału rezydualnego, wartości skupiają się wokół zera, dzięki czemu ten sposób kodowania jest bardzo wydajny. Duże usprawnienie kodowania daje również adaptacyjność zastosowana w naszej implementacji, gdyż daje nam to bardziej optymalne kodowanie zgrupowań o podobnych wartościach, niż sztywne przyjęcie parametru 'k'

### Przykładowe rzeczywiste rozkłady (funkcje gęstości) sygnału rezydualnego





## Zapis do pliku .vlak

Do zapisu skompresowanych danych wykorzystujemy koncepcję serializacji, dzięki czemu format pliku .vlak jest wyjątkowo prosty, a jednocześnie łatwy w rozbudowie. Plik składa się z nagłówka (serializowany obiekt klasy `CVLAKHeader`) oraz z pewnej ilości skompresowanych ramek (serializowane klasy implementujące interfejs `ICompressedFrame`).

Niestety C++ nie dostarcza mechanizmów serializacji, należało więc napisać je samemu. Serializacja ramek, polega na zapisaniu: długości ramki oraz jej dokładnego typu (jest to tzw. GUID), tak aby wiadomo było, jaką metodę deserializacji wywołać przy odczycie. Później zapisuje się już zawartość ramki, a więc sygnał rezydualny oraz parametry predyktora. Takie podejście pozwala przykładowo na stosowanie dla każdego bloku danych dowolnego predyktora, a nawet dowolnego kodera entropii.

Odczyt pliku .vlak polega zatem na deserializacji obiektów z pliku.

## Opis użycia programu vlak

Nasz kodek posiada dosyć dużą ilość opcji, które mają często znaczący wpływ na efektywność kompresji. Aby zobaczyć co vlak ma nam do zaoferowania wystarczy wywołać go w następujący sposób:

```
vlak
```

```
vlak --help
```

Spowoduje to wyświetlenie możliwych do ustawienia opcji oraz poinformuje o akceptowanych trybach pracy. Jak łatwo zauważyć opcje należy podawać w postaci akceptowalnej przez standardową funkcję `getopts_long()`.

VLAK może pracować w następujących trybach:

```
Encoding: ./vlak [encoding-options] INPUTWAVFILE [OUTPUTVLAKFILE]
```

```
Decoding: ./vlak -d [decoding-options] VLAKFILE [OUTPUTWAVFILE]
```

Analyzing: ./vlak -a [analysis-options] VLAKFILE

### Tryby pracy

-d, --decode       dekodowanie podanego pliku .vlak  
-h, --help         wyświetlenie pomocy  
-a, --analyze       analizowanie podanego pliku .vlak

### Opcje enkodera

-p, --predictor=#    wybór typu predyktora  
-b, --blocksize=#    wybór rozmiaru bloku w próbkach na kanał  
-m, --manipulator=#  wybór typu manipulatora  
-l, --lpcorder=#,#   wybór minimalnego i maksymalnego rzędu dla predyktora LPC

### Opcje analizatora

Każda z opcji powoduje utworzenie plików zawierających interesujące nas informacje. UWAGA: naraz można podać tylko jedną opcję.

--residual-distrib   wypisuje rozkład sygnału rezyduального dla każdej ramki w osobnym pliku  
--residual-signal    wypisuje sygnał rezydualny dla każdej ramki dla każdej ramki w osobnym pliku  
--original-signal    wypisuje oryginalny sygnał (na wejściu kodeka) dla każdej ramki w osobnym pliku  
--manipulated-signal  wypisuje sygnał poddany dekorelacji międzykanałowej dla każdej ramki w osobnym pliku  
--predicted-signal   wypisuje sygnał będący wynikiem predykcji dla każdej ramki w osobnym pliku  
--predictor-order    wypisuje informacje o rzędzie predyktora. Tworzony jest jeden plik zawierający rzędy zastosowanych predyktorów. Opcja ta ma zastosowanie w adaptacyjnych metodach predykcyjnych  
--info               wypisuje podstawowe informacje o pliku vlak, np. ilość ramek, właściwości sygnału PCM  
--compression-ratio   wypisuje stopień kompresji sygnału rezyduального dla każdej ramki osobno. Stopień ten pokazuje TYLKO efektywność kodera entropii, nie uwzględnia narzutów związanych z dodatkowym informacjami zapisywanymi w ramce

## Dostępne typy predyktorów

- 0 Simple
- 1 LPC
- 2 FIR
- 3 Wavelet
- 4 FFT

## Dostępne typy manipulatorów

- 0 CSimpleChannelManipulator
- 1 CMidSideChannelManipulator
- 2 CAdaptiveChannelManipulator

## Pomiary

### Opis plików testowych

Poniższe utwory pochodzą z oryginalnych płyt, które oczywiście polecamy. Zostały one zgrane z jakością CD-AUDIO a więc 16 bit, 44100 Hz, stereo.

#### *Izrael – See I & I*

Utwór ten reprezentuje muzykę reggae. To co wyróżnia ten gatunek, to charakterystyczna rytmiczność, czyli tzw. offbeat, zwany też "akcentem na słabą część taktu". W skład dość bogatego instrumentarium wchodzi między innymi kilka instrumentów dętych oraz pokaźny zestaw tzw. „przeszkadzajek”, co bardzo urozmaica muzykę i przy okazji rozszerzając jej pasmo częstotliwościowe.

#### *Led Zeppelin – D'yer Mak'er*

Jest to dość stary utwór jak na muzykę rockową, bo stworzono go około trzydzieści pięć lat temu, kiedy wzmacniacze muzyczne były na dużo niższym poziomie jakości, co wyraźnie słychać chociażby w brzmieniu gitar. I właśnie dlatego wybraliśmy go do testowania naszego kodeka.

#### *Gladiator OST – Now We Are Free*

Utwór ten jest zbliżony stylistycznie do muzyki poważnej, symfonicznej. Jest to bardzo wartościowy materiał do testów, gdyż na tego rodzaju plikach dźwiękowych niektóre standardy kompresji stratnej okazywały się szczególnie nieefektywne. Być może wyjątkowo liczny zestaw instrumentów i skrajna wielogłosowość utrudni zadanie także naszemu kodekowi.

#### *Sweet Noise – 9/1*

Jest to reprezentant "ostrzejszych" odmian muzyki metalowej. Bardzo charakterystyczne dla tego gatunku brzmienie charakteryzuje duży udział fal o niskiej częstotliwości. Wysokie częstotliwości reprezentuje między innymi wokaliza samej Anny Marii Jopek. Można powiedzieć, że w tego muzyce większość instrumentów jednoczy siły by razem stworzyć ścianę dźwięku - nie występuje specjalna wielość brzmień i melodii.

#### *Kult – Baranek*

Powszechnie znany utwór zespołu Kult.

### **Myslovitz – Zgon (live)**

Nagranie z koncertu Myslovitz wykonane prostym dyktafonem kasetowym z wbudowanym mikrofonem. Sygnał jest więc zaszumiony, powinny występować także silne korelacje międzykanałowe. Odzwierciedla to w przybliżeniu charakterystykę bootlegów o słabej jakości (nagrywanych z widowni a nie z konsoli).

### **Vypsana Fixa – Palenie Titonia**

Kolejny utwór rockowy, tym razem śpiewany po czesku. Nagrany został dosyć głośno, a sygnał w każdym z kanałów jest zróżnicowany.

### **Turbo – Szalony Ikar**

Utwór ten, popularnego niegdyś polskiego zespołu Turbo, reprezentuje muzykę metalową. Jest wyjątkowo głośny i grany w szybkim tempie. Nagranie pochodzi ze „zremasterowanej” płyty CD.

### **Iron Maiden – Sign Of The Cross**

Tym razem jest to długi (ponad 11 minutowy) utwór zespołu Iron Maiden. Jest to jednak w miarę spokojny utwór ze zróżnicowanymi fragmentami, cichego, nastrojowego grania oraz „ostrzejszymi” fragmentami solowymi.

## **Zastosowane miary efektywności kompresji**

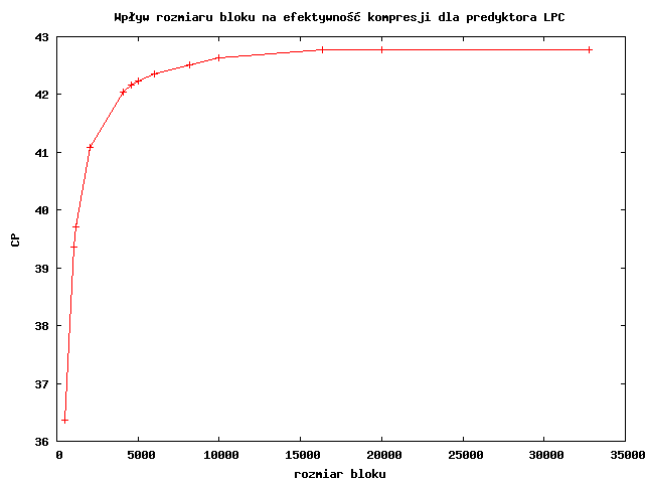
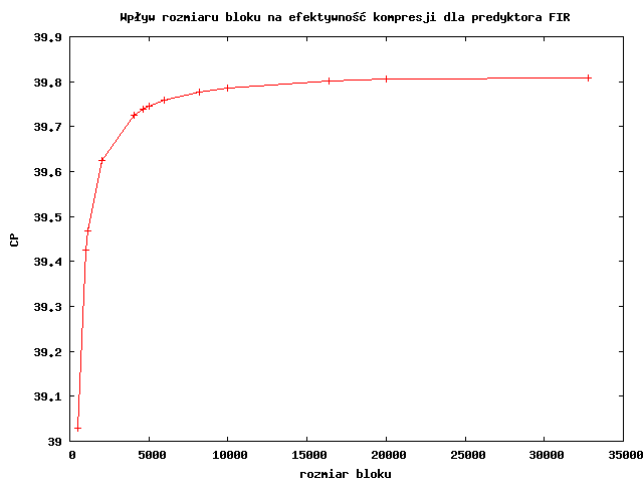
$$CR = \frac{\text{rozmiar pliku oryginalnego}}{\text{rozmiar pliku skompresowanego}}$$

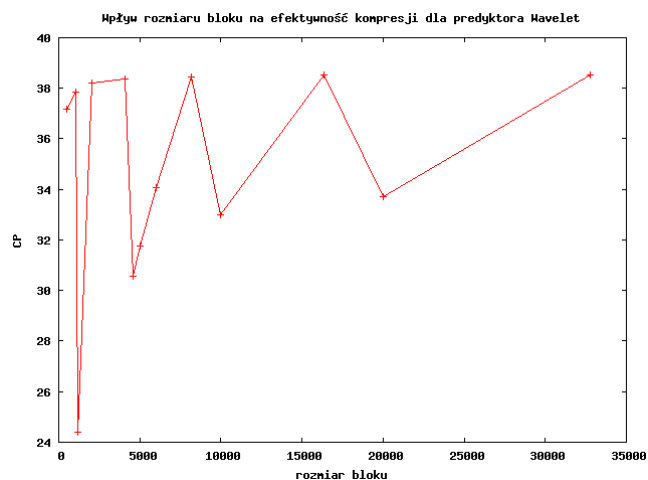
$$CP = \left(1 - \frac{1}{CR}\right) \cdot 100 \quad (\%)$$

## **Rozmiar bloku a efektywność kompresji**

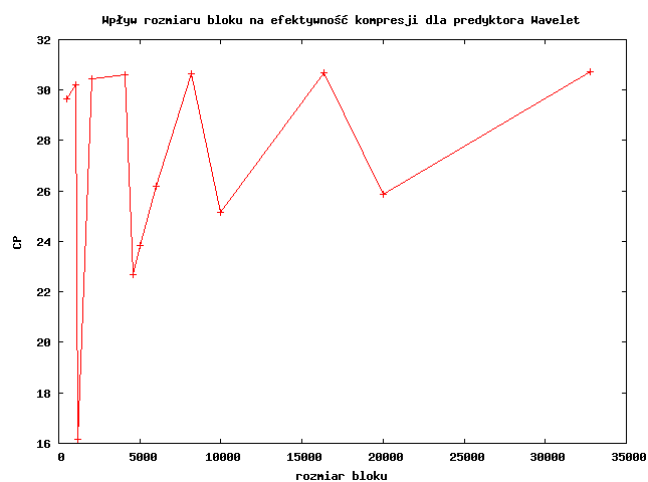
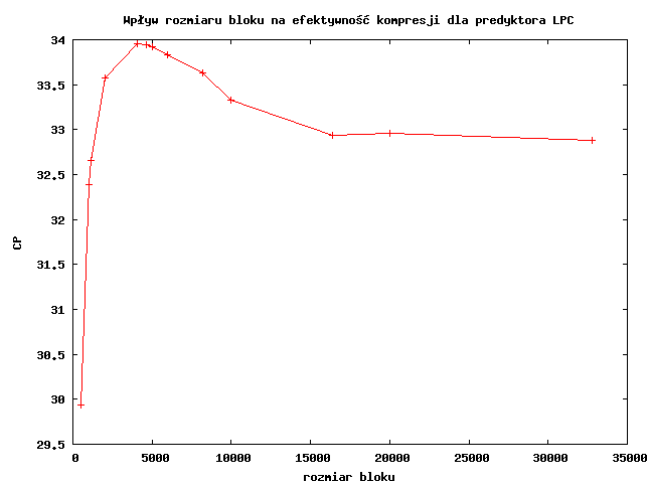
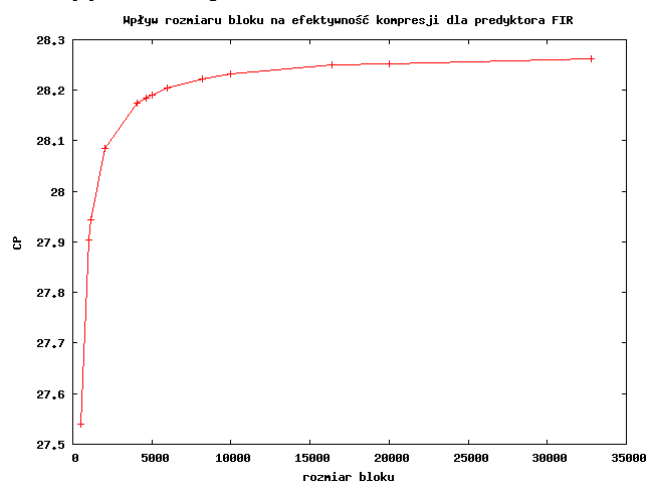
Test ten ma pokazać jak duży wpływ na efektywność kompresji ma rozmiar bloku. Zostanie on przeprowadzony dla różnych typów predyktorów.

### **Izrael – See I & I**

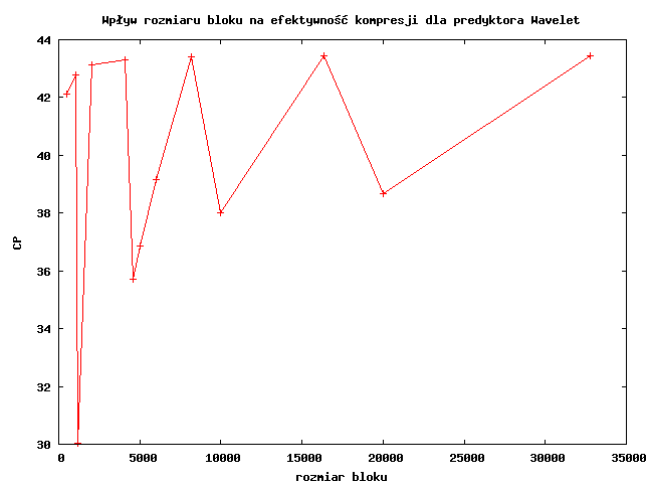
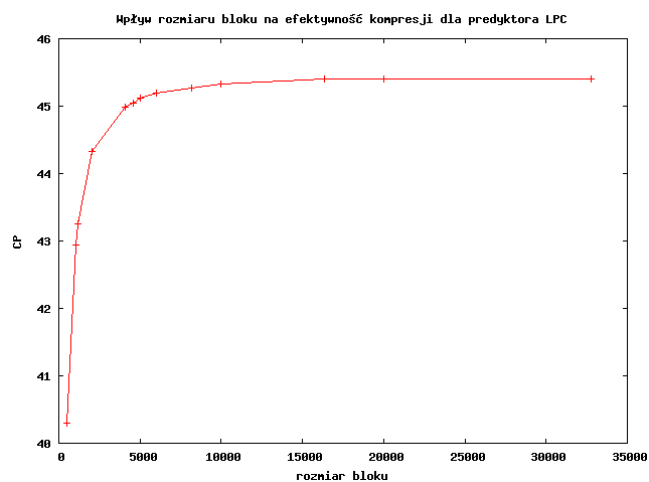
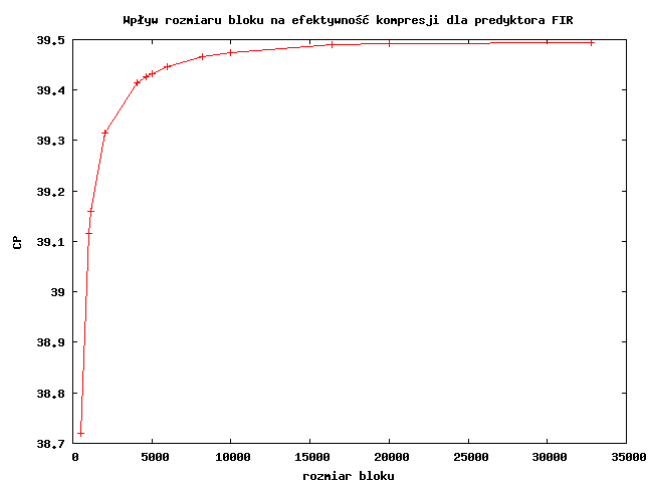




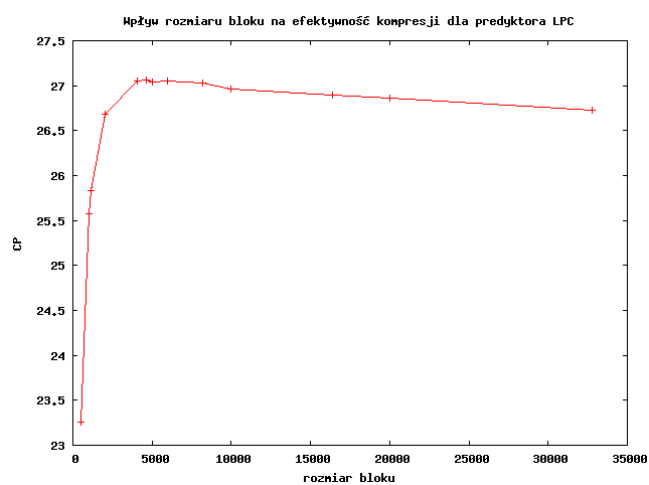
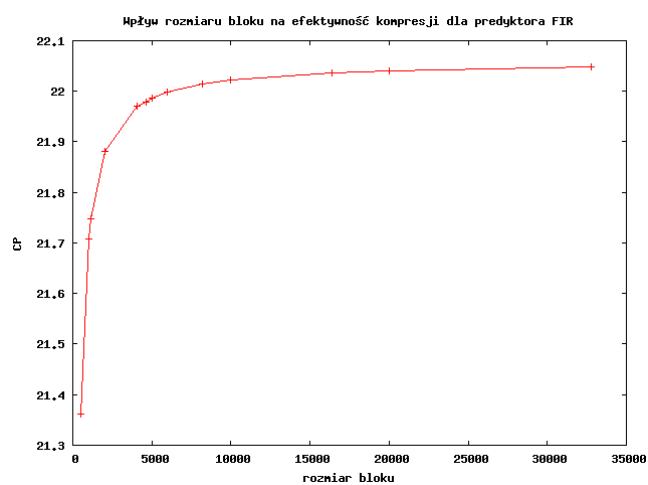
## Led Zeppelin – D'yer Mak'er



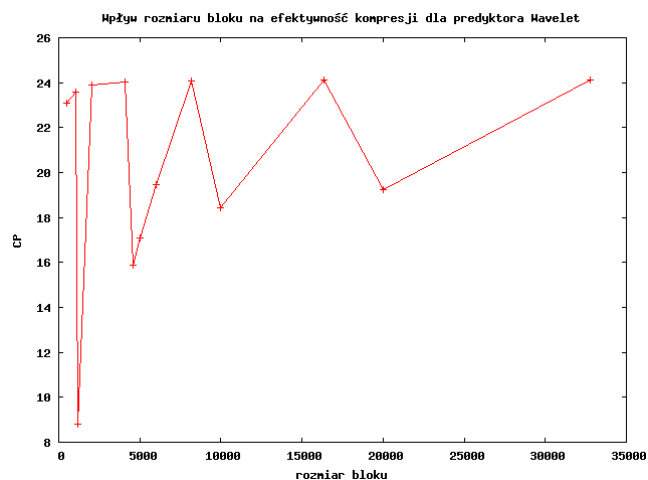
## Gladiator OST – Now We Are Free



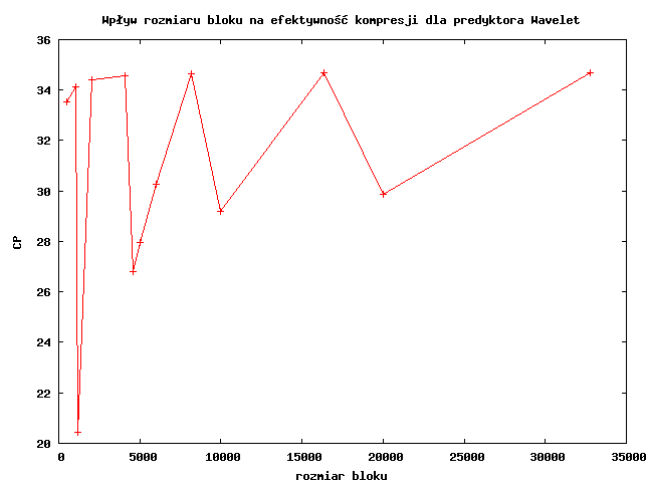
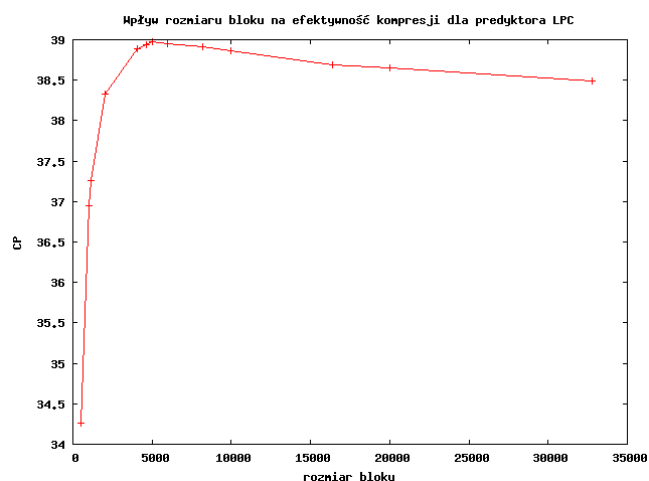
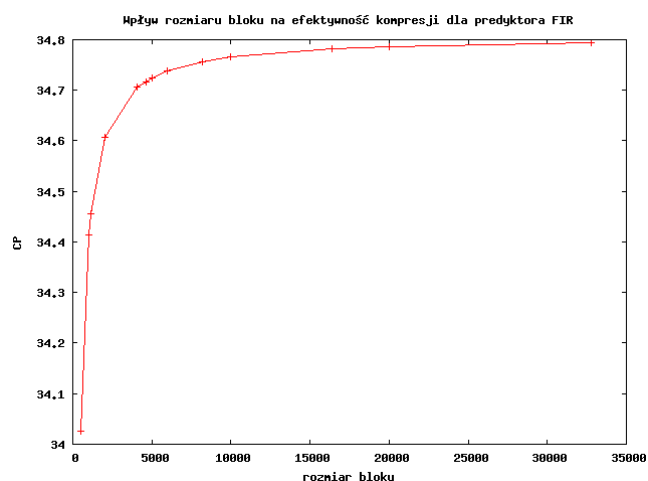
## Sweet Noise – 9/1



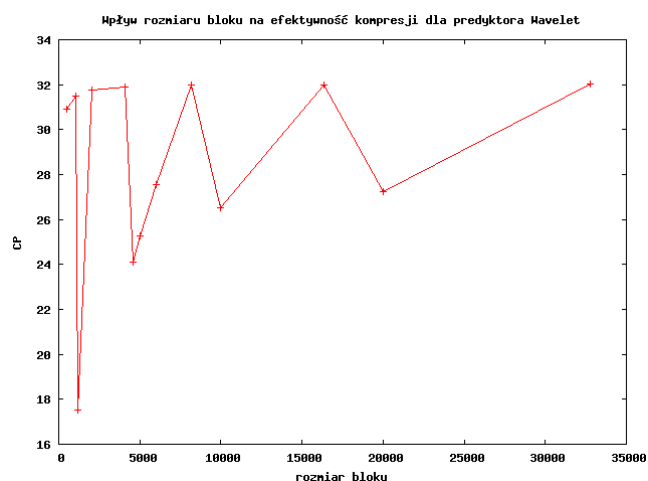
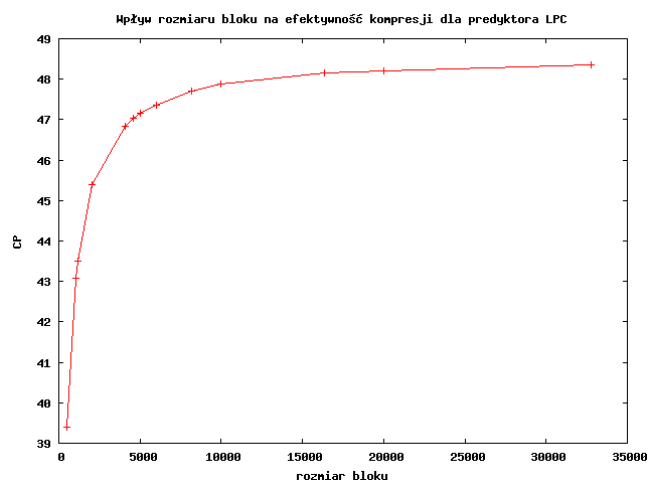
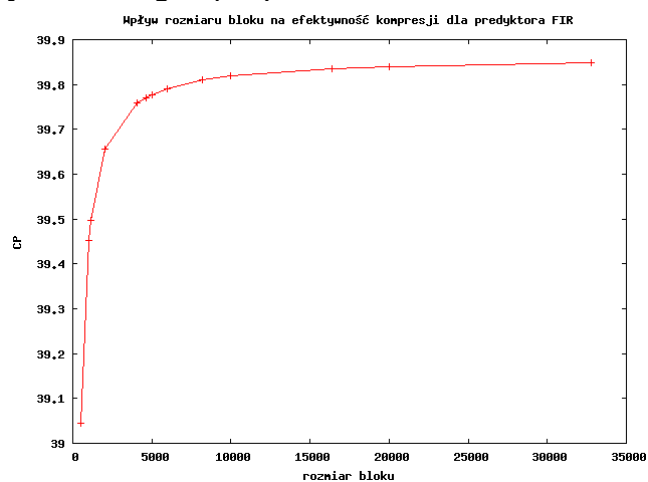




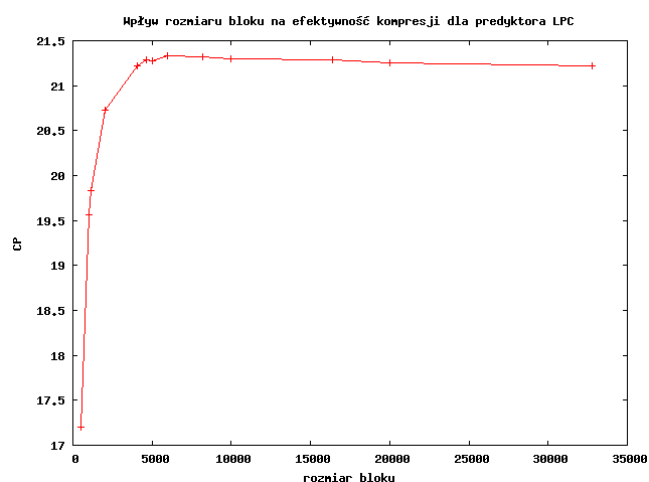
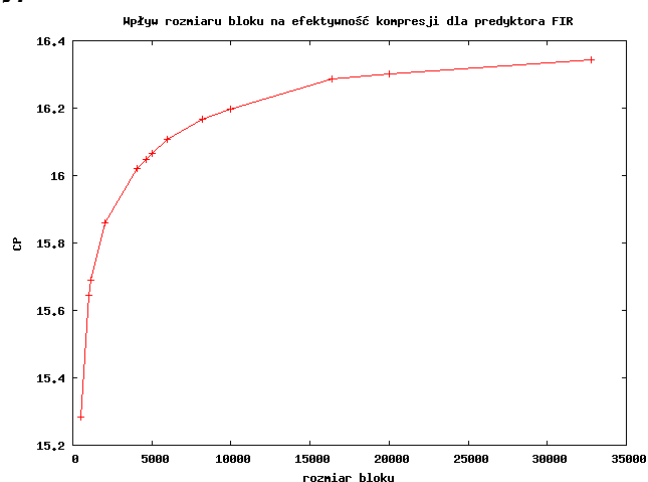
### Kult – Baranek

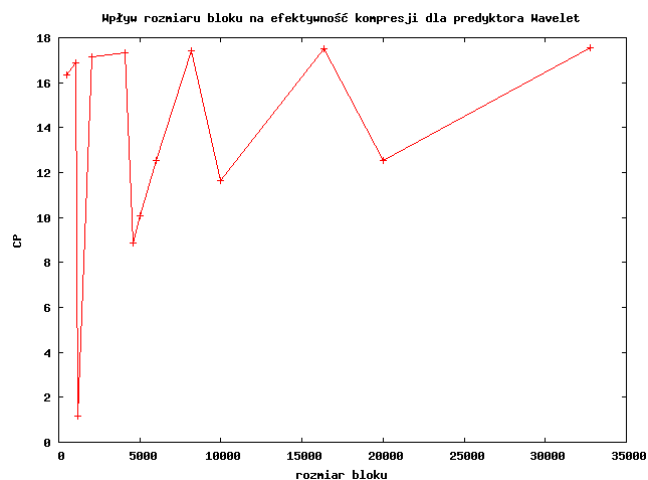


### Myslovitz – Zgon (live)

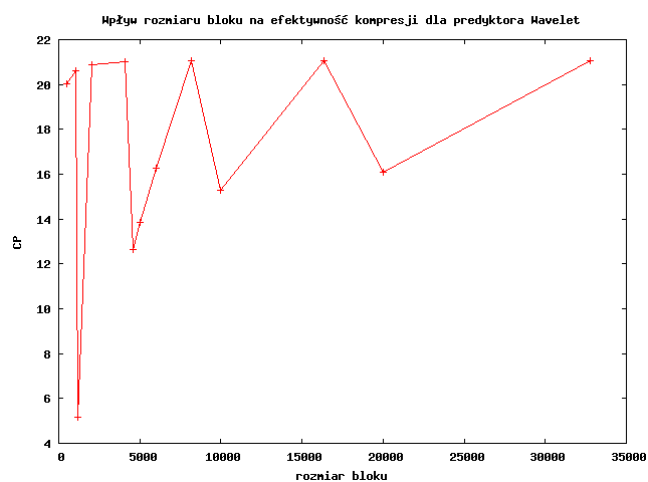
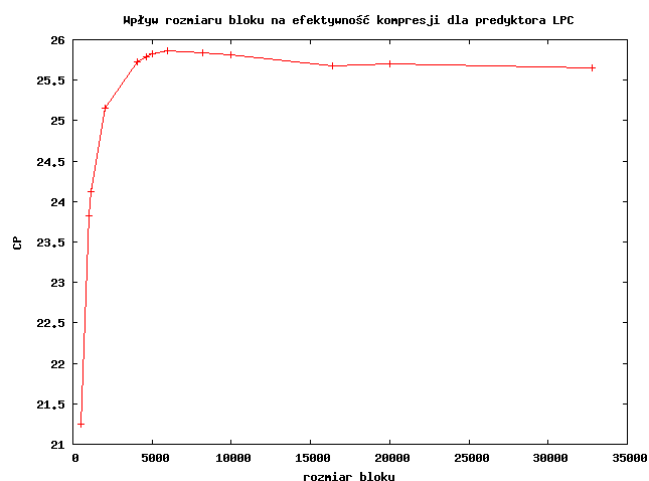
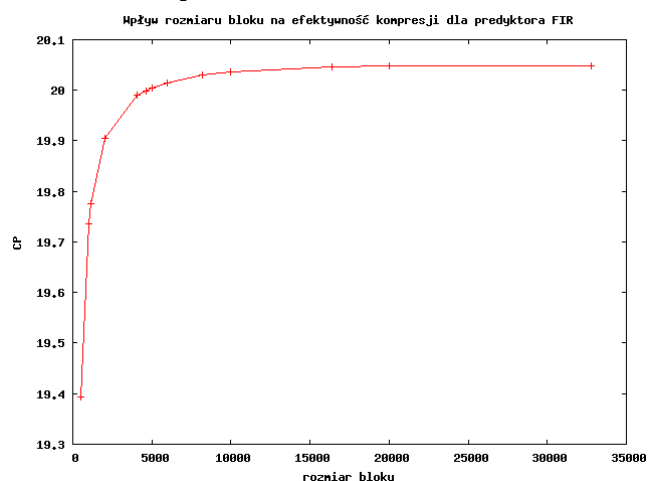


### Vypsana Fixa – Palenie Titonia

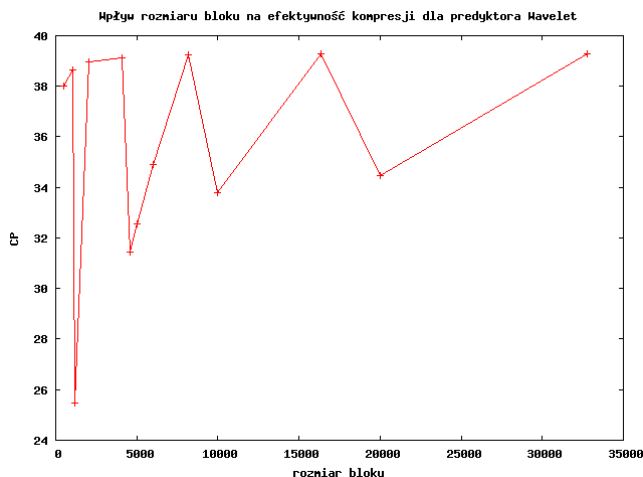
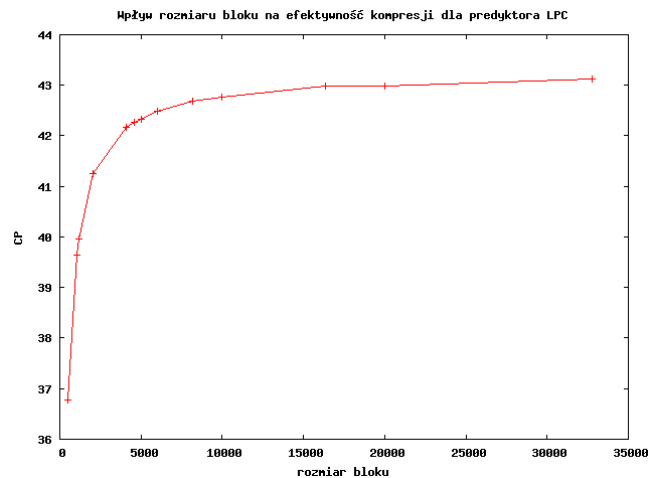
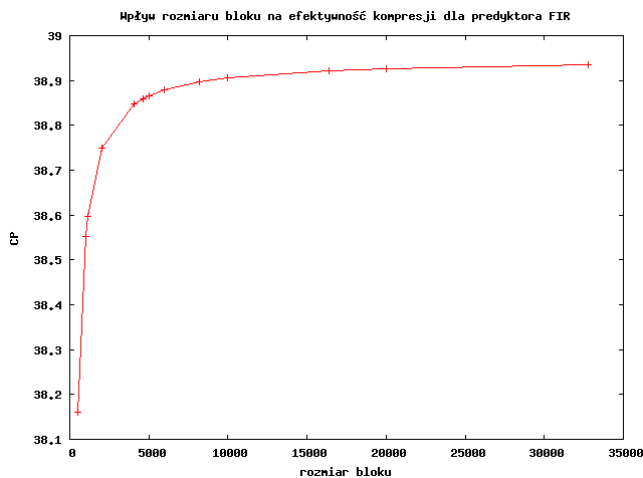




### Turbo – Szalony Ikar



## Iron Maiden – Sign Of The Cross



## Wnioski

### ● FIR

Predyktor ten przewiduje wartości kolejnych próbek, przy użyciu całej historii tego samego wzoru, biorąc pod uwagę 3 ostatnie próbki z danego kanału. Dlatego wraz ze wzrostem długości ramki efektywność kompresji może się tylko polepszać. Jest tak ponieważ wraz ze wzrostem długości bloku nagłówki ramki coraz rzadziej występują w pliku wynikowym. W zasadzie najlepszym rozwiązaniem byłoby gdyby plik vlak składał się tylko z jednej ramki. Niestety jest to uniemożliwione przez górne ograniczenie długości bloku. Nie ma to jednak zbyt wielkiego znaczenia, gdyż zwykle dla długości bloku powyżej około 10000-15000 próbek wzrost efektywności jest już bardzo powolny (w przypadku CP zmiany na 5000 bajtów są rzędu jednej lub kilku dziesiątych procenta).

### ● LPC

Dobór kontekstu w przypadku LPC jest bardzo istotny, gdyż założeniem tego predyktora jest działanie na sygnale (prawie) stacjonarnym. Wyniki pomiarów wskazują, że optymalny rozmiar bloku wynosi około 5000 próbek na kanał dla większości rodzajów muzyki. Gdy jednak

muzyka jest „spokojniejsza” to kontekst może być znacznie dłuższy, a dzieje się tak np. dla reggae czy dla spokojnej muzyki klasycznej.

Różnice w efektywności LPC dla różnych rozmiarów bloków są znaczne, średnio jest to około 5%, ale bywa to nawet 8% (dla Myslovitz – Zgon). Wskazuje to na duże możliwości optymalizacji kodeka VLAK – jeśli udałooby się adaptacyjnie dobierać rozmiar bloku to można liczyć na znaczną poprawę efektywności.

- Wavelet

Przede wszystkim zastosowana przez nas transformata falkowa przyjmuje tylko ciągi o długości będącej potęgą dwójki. Aby zapewnić bezstratność kodeka także dla serii o innej długości zastosowaliśmy procedurę dopełniania długości serii do najbliższej dozwolonej wartości. Ciąg wyjściowy ma wtedy niestety długość owej potęgi dwójki, a efektywność kompresji jest zaniżona. To powoduje, że stosowanie innych rozmiarów bloku jest nieopłacalne. Stąd wzięły się na wykresie charakterystyczne zęby.

Prawdziwy wykres efektywności kompresji w funkcji długości bloku byłby wtedy zbiorem punktów o współrzędnej  $x$  należącej do zbioru potęg dwójki. Zależność tę można sobie uzmysłowić, wyobrażając sobie górną obwiednię powyższych wykresów dla kompresji falkowej. Wydaje się ona być rosnącą, choć od powyżej 8192 próbek zwiększenie rozmiaru o 2 powoduje wzrost CP o kilka dziesiątych części procenta.

Jednak na tych wykresach nie widać pewnego zjawiska (nie pozwalają na to wewnętrzne ograniczenia kodera), które zachodzi przy dzieleniu pliku wav na równe bloki. Zazwyczaj przy dzieleniu sampli tą metodą ostatnia ramka ma długość nie będącą potęgą dwójki i jest kompresowana nieefektywnie. Gdy wybrano bardzo duży rozmiar bloku, ta jedna ramka może popsuć efektywność kompresji całego pliku. Rozwiązaniem byłaby zmiana algorytmu dzielenia na bloki, tak aby ten ostatni blok był dodatkowo podzielony na kilka mniejszych, o np. o długościach będących kolejnymi największymi potęgami dwójki nie większymi niż pozostała do podziału długość. Nie zaimplementowaliśmy tego algorytmu w kodeku, gdyż ograniczenie długości bloku nie pozwala zaobserwować negatywnych objawów jego braku.

#### ***Komentarz dotyczący wpływu długości bloku na czas kompresji***

W dodatku A znajdują się wyniki pomiaru czasu kompresji względem długości bloku.

- FIR

Algorytm ten przechodzi liniowo przez wartości wszystkich próbek i długość bloku praktycznie nie ma wpływu na jego czas działania (z dokładnością do czasu zapisania nagłówka każdej ramki).

- LPC

Analizując algorytm LPC dochodzi się do wniosku, iż złożoność obliczeniowa algorytmu Levinsona-Durbina zależy od iloczynu rozmiar bloku \* rząd predyktora (jest to złożoność wyznaczenia macierzy autokorelacji sygnału) oraz od kwadratu rzędu predyktora (złożoność samego algorytmu).

Wyniki pomiarów pokazują, że dla małych rozmiarów bloków (rzędu 64 KB) czas działania algorytmu jest stały, zależny zapewne od czasu operacji dyskowych, przydziału pamięci a nie od złożoności obliczeniowej algorytmu. Jednak na wolniejszych maszynach

zależność od rozmiaru bloku może się ujawnić.

- Wavelet

Widzimy po pierwsze, że dla długości serii nie będących potęgami dwójki czas kompresji jest nienaturalnie długi. Po prostu zera dodawane przez nas sztucznie na koniec ciągu powodują, że dane takie stają się wyjątkowo "niewygodne" dla tej transformaty falkowej. Gdy odrzucimy długości bloku nie będącymi potęgami dwójki (których i tak nie stosuje się, z powodu słabej efektywności kompresji) dostaniemy prawdziwą zależność czasu kompresji od długości bloku. Widzimy, że jest ona rosnąca.

Oznaczmy:

1.  $n$  - długość bloku
2.  $k$  - liczbę ramek w pliku
3.  $l$  - długość pliku (w samplach liczona dla jednego kanału)

Złożoność obliczeniowa algorytmu falkowej interpolacji liniowej dla bloku o długości  $n$  wyraża się wzorem:

$$O(n) = n \log(n)$$

Złożoność dla pliku o  $k$  ramkach i długości  $l$  ( $k \cdot n = l$ ):

$$O(n) = k \cdot n \log(n) = l \cdot \log(n)$$

Widzimy, że czas kompresji rośnie logarytmicznie wraz ze wzrostem długości ramki.

## Jak manipulatory wpływają na efektywność kompresji

Autorzy kodeka FLAC uważają, że bardzo istotnym etapem kodeka bezstratnego jest dekorrelacja międzykanałowa. Uznali oni, że wystarczą do tego celu bardzo proste środki, przykładowo: konwersja left,right -> mid,side. Test porównuje efektywność kodeka dla przypadku zastosowania takiej konwersji (tzw. manipulacji) oraz bez niej.

Wszystkie wyniki uzyskano wywołując program vlac z następującymi opcjami:

vlac -p 1 -l 8,8 -b 4608 -m 0 oraz vlac -p 1 -l 8,8 -b 4608 -m 2

**Izrael – See I & I**

manipulator	czas kompresji	CR	CP
bez manipulacji	13	1.7163	41.7352
AdaptiveMidSide	14	1.7289	42.1605

**Led Zeppelin – D'yer Mak'er**

manipulator	czas kompresji	CR	CP
bez manipulacji	12	1.5034	33.4820
AdaptiveMidSide	13	1.5138	33.9410

**Gladiator OST – Now We Are Free**

<i>manipulator</i>	<i>czas kompresji</i>	<i>CR</i>	<i>CP</i>
<i>bez manipulacji</i>	12	1.7935	44.2441
<i>AdaptiveMidSide</i>	12	1.8199	45.0506

**Sweet Noise – 9/1**

<i>manipulator</i>	<i>czas kompresji</i>	<i>CR</i>	<i>CP</i>
<i>bez manipulacji</i>	12	1.3580	26.3602
<i>AdaptiveMidSide</i>	12	1.3711	27.0642

**Kult – Baranek**

<i>manipulator</i>	<i>czas kompresji</i>	<i>CR</i>	<i>CP</i>
<i>bez manipulacji</i>	12	1.6305	38.6707
<i>AdaptiveMidSide</i>	13	1.6378	38.9420

**Myslovitz – Zgon (live)**

<i>manipulator</i>	<i>czas kompresji</i>	<i>CR</i>	<i>CP</i>
<i>bez manipulacji</i>	7	1.8497	45.9384
<i>AdaptiveMidSide</i>	7	1.8882	47.0386

**Vypsana Fixa – Palenie Titonia**

<i>manipulator</i>	<i>czas kompresji</i>	<i>CR</i>	<i>CP</i>
<i>bez manipulacji</i>	9	1.2739	21.5006
<i>AdaptiveMidSide</i>	10	1.2704	21.2872

**Turbo – Szalony Ikar**

<i>manipulator</i>	<i>czas kompresji</i>	<i>CR</i>	<i>CP</i>
<i>bez manipulacji</i>	10	1.3461	25.7137
<i>AdaptiveMidSide</i>	11	1.3475	25.7906

**Iron Maiden – Sign Of The Cross**

<i>manipulator</i>	<i>czas kompresji</i>	<i>CR</i>	<i>CP</i>
<i>bez manipulacji</i>	33	1.7035	41.2967



manipulator	czas kompresji	CR	CP
AdaptiveMidSide	38	1.7323	42.2721

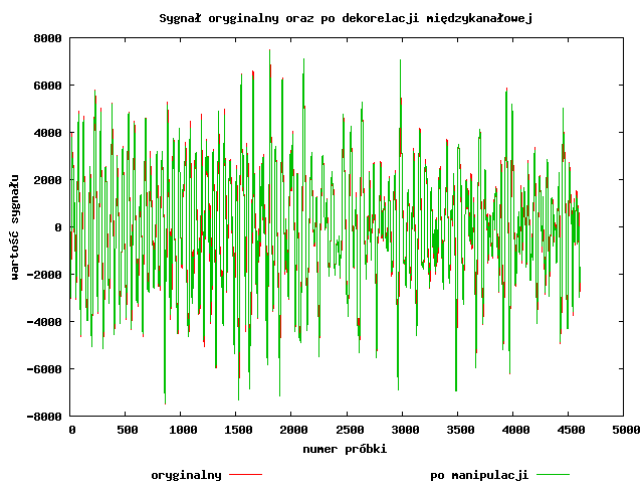
### Wnioski

Okazuje się, że taka prosta próba dekorelacji sygnału daje raczej słabe wyniki. Zysk jest w granicach około 1%. Znalazł się nawet przypadek (Vypsana Fixa) dla którego MidSide pogarsza efektywność kompresji! Z drugiej strony – czas potrzebny na kompresję z wykorzystaniem manipulatora MidSide jest niewiele dłuższy niż bez niego, a zysk jest niezerowy. Dlatego też taka manipulacja mimo wszystko może mieć sens.

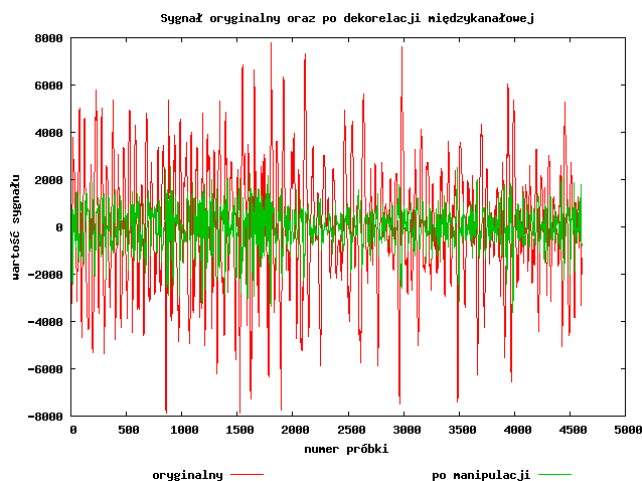
Istnieje jednak sytuacja w której MidSide będzie bardzo dobrym pomysłem. Są to tzw. pliki fake-stereo, czyli takie w których lewy i prawy kanał są identyczne. Zastosowanie manipulatora MidSide spowoduje iż kanał Side będzie miał stałą wartość 0, co oczywiście pozwoli na znacznie bardziej efektywną predykcję i kompresję.<sup>9</sup>

Można spróbować usprawnić proces dekorelacji międzykanałowej dodając większą ilość prostych manipulatorów oraz wybierać dla każdego bloku najlepszy z nich. Takie podejście zastosowano w kodku FLAC.

### Przykład skutecznej dekorelacji międzykanałowej sygnału



kanał „mid”



kanał „side”

### Efektywność kompresji dla różnych typów predyktorów oraz porównanie z konkurencją

Test ten stanowi porównanie kodeka VLAK w różnych trybach pracy z konkurencyjnymi kodekami. Porównanie wykonano z następującymi kodekami:

- FLAC
- SHORTEEN
- Monkey's Audio
- Gzip

<sup>9</sup> predyktor LPC potrafi wykryć sygnał zerowy, a wtedy w ramce sygnał rezydualny nie jest zapisywany

- Bzip2

**Izrael – See I & I**

<i>parametry wywołania</i>	<i>czas kompresji</i>	<i>CR</i>	<i>CP</i>	<i>czas dekompresji</i>
<i>vlak -p 1 -m 2 -b 4608</i>	13	1.6740	40.2638	9
<i>vlak -p 2 -m 2 -b 4608</i>	12	1.6594	39.7377	12
<i>vlak -p 3 -m 2 -b 4096</i>	56	1.6229	38.3804	56
<i>flac -0</i>	2	1.6796	40.4635	1
<i>flac -5</i>	5	1.7646	43.3289	1
<i>flac -8</i>	47	1.7702	43.5104	1
<i>shorten</i>	2	1.6888	40.7854	1
<i>shorten -b 4608 -p 8</i>	4	1.6409	39.0579	1
<i>mac -c2000</i>	8	1.8518	45.9982	11
<i>mac -c3000</i>	10	1.8568	46.1450	13
<i>gzip</i>	5	1.0729	6.7957	1
<i>bzip2</i>	35	1.1146	10.2790	14

**Led Zeppelin – D'yer Mak'er**

<i>parametry wywołania</i>	<i>czas kompresji</i>	<i>CR</i>	<i>CP</i>	<i>czas dekompresji</i>
<i>vlak -p 1 -m 2 -b 4608</i>	12	1.4741	32.1627	9
<i>vlak -p 2 -m 2 -b 4608</i>	11	1.3925	28.1841	11
<i>vlak -p 3 -m 2 -b 4096</i>	52	1.4407	30.5904	52
<i>flac -0</i>	2	1.4455	30.8181	1
<i>flac -5</i>	5	1.5254	34.4453	1
<i>flac -8</i>	43	1.5303	34.6528	1
<i>shorten</i>	2	1.4506	31.0618	1
<i>shorten -b 4608 -p 8</i>	4	1.4981	33.2493	1
<i>mac -c2000</i>	7	1.5814	36.7651	11

<i>parametry wywołania</i>	<i>czas kompresji</i>	<i>CR</i>	<i>CP</i>	<i>czas dekompresji</i>
<i>mac -c3000</i>	9	1.5869	36.9843	12
<i>gzip</i>	4	1.0901	8.2646	1
<i>bzip2</i>	33	1.1430	12.5104	13

**Gladiator OST – Now We Are Free**

<i>parametry wywołania</i>	<i>czas kompresji</i>	<i>CR</i>	<i>CP</i>	<i>czas dekompresji</i>
<i>vlak -p 1 -m 2 -b 4608</i>	11	1.7625	43.2635	8
<i>vlak -p 2 -m 2 -b 4608</i>	11	1.6509	39.4254	10
<i>vlak -p 3 -m 2 -b 4096</i>	50	1.7639	43.3089	50
<i>flac -0</i>	2	1.7372	42.4355	1
<i>flac -5</i>	5	1.8396	45.6389	1
<i>flac -8</i>	41	1.8464	45.8410	1
<i>shorten</i>	2	1.7451	42.6975	1
<i>shorten -b 4608 -p 8</i>	4	1.7761	43.6984	1
<i>mac -c2000</i>	7	1.9041	47.4830	10
<i>mac -c3000</i>	9	1.9170	47.8351	11
<i>gzip</i>	5	1.1260	11.1908	1
<i>bzip2</i>	29	1.1897	15.9479	12

**Sweet Noise – 9/1**

<i>parametry wywołania</i>	<i>czas kompresji</i>	<i>CR</i>	<i>CP</i>	<i>czas dekompresji</i>
<i>vlak -p 1 -m 2 -b 4608</i>	11	1.3445	25.6234	8
<i>vlak -p 2 -m 2 -b 4608</i>	10	1.2817	21.9795	18
<i>vlak -p 3 -m 2 -b 4096</i>	49	1.3161	24.0164	50
<i>flac -0</i>	2	1.3180	24.1279	1

<i>parametry wywołania</i>	<i>czas kompresji</i>	<i>CR</i>	<i>CP</i>	<i>czas dekompresji</i>
<i>flac -5</i>	5	1.3811	27.5921	1
<i>flac -8</i>	41	1.3839	27.7399	1
<i>shorten</i>	2	1.3221	24.3624	1
<i>shorten -b 4608 -p 8</i>	4	1.3594	26.4359	1
<i>mac -c2000</i>	7	1.4160	29.3768	10
<i>mac -c3000</i>	8	1.4216	29.6589	11
<i>gzip</i>	5	1.0668	6.2578	1
<i>bzip2</i>	32	1.0903	8.2829	12

**Kult – Baranek**

<i>parametry wywołania</i>	<i>czas kompresji</i>	<i>CR</i>	<i>CP</i>	<i>czas dekompresji</i>
<i>vlak -p 1 -m 2 -b 4608</i>	12	1.5927	37.2145	9
<i>vlak -p 2 -m 2 -b 4608</i>	11	1.5318	34.7171	11
<i>vlak -p 3 -m 2 -b 4096</i>	52	1.5282	34.5634	52
<i>flac -0</i>	2	1.5652	36.1088	1
<i>flac -5</i>	5	1.6493	39.3692	1
<i>flac -8</i>	43	1.6568	39.6437	1
<i>shorten</i>	2	1.5716	36.3715	1
<i>shorten -b 4608 -p 8</i>	4	1.6149	38.0776	1
<i>mac -c2000</i>	7	1.7806	43.8395	11
<i>mac -c3000</i>	9	1.7980	44.3818	12
<i>gzip</i>	5	1.1109	9.9813	1
<i>bzip2</i>	30	1.1717	14.6553	13

**Myslovitz – Zgon (live)**

<i>parametry wywołania</i>	<i>czas kompresji</i>	<i>CR</i>	<i>CP</i>	<i>czas dekompresji</i>
<i>vlak -p 1 -m 2 -b 4608</i>	7	1.8355	45.5195	5
<i>vlak -p 2 -m 2 -b 4608</i>	6	1.6603	39.7695	6
<i>vlak -p 3 -m 2 -b 4096</i>	30	1.4683	31.8943	30
<i>flac -0</i>	1	1.7131	41.6272	1
<i>flac -5</i>	3	1.8946	47.2181	1
<i>flac -8</i>	24	1.9050	47.5056	1
<i>shorten</i>	1	1.6508	39.4238	0
<i>shorten -b 4608 -p 8</i>	2	1.7935	44.2418	1
<i>mac -c2000</i>	4	2.0855	52.0490	6
<i>mac -c3000</i>	5	2.0893	52.1366	7
<i>gzip</i>	2	1.0933	8.5343	0
<i>bzip2</i>	17	1.2349	19.0233	7

**Vypsana Fixa – Palenie Titonia**

<i>parametry wywołania</i>	<i>czas kompresji</i>	<i>CR</i>	<i>CP</i>	<i>czas dekompresji</i>
<i>vlak -p 1 -m 2 -b 4608</i>	10	1.2409	19.4149	7
<i>vlak -p 2 -m 2 -b 4608</i>	8	1.1912	16.0491	9
<i>vlak -p 3 -m 2 -b 4096</i>	42	1.2094	17.3112	42
<i>flac -0</i>	2	1.2270	18.4999	1
<i>flac -5</i>	4	1.2848	22.1688	1
<i>flac -8</i>	36	1.2889	22.4117	1
<i>shorten</i>	2	1.2302	18.7095	1
<i>shorten -b 4608 -p 8</i>	3	1.2763	21.6496	1
<i>mac -c2000</i>	6	1.3394	25.3407	9

<i>parametry wywołania</i>	<i>czas kompresji</i>	<i>CR</i>	<i>CP</i>	<i>czas dekompresji</i>
<i>mac -c3000</i>	8	1.3408	25.4153	10
<i>gzip</i>	4	1.0208	2.0333	0
<i>bzip2</i>	30	1.0184	1.8060	11

**Turbo – Szalony Ikar**

<i>parametry wywołania</i>	<i>czas kompresji</i>	<i>CR</i>	<i>CP</i>	<i>czas dekompresji</i>
<i>vlak -p 1 -m 2 -b 4608</i>	9	1.3066	23.4653	7
<i>vlak -p 2 -m 2 -b 4608</i>	9	1.2500	19.9991	9
<i>vlak -p 3 -m 2 -b 4096</i>	43	1.2658	20.9992	44
<i>flac -0</i>	2	1.2850	22.1808	1
<i>flac -5</i>	4	1.3580	26.3599	1
<i>flac -8</i>	36	1.3605	26.4963	1
<i>shorten</i>	2	1.2892	22.4299	1
<i>shorten -b 4608 -p 8</i>	3	1.3473	25.7763	1
<i>mac -c2000</i>	6	1.3955	28.3390	9
<i>mac -c3000</i>	8	1.3975	28.4444	10
<i>gzip</i>	4	1.0338	3.2664	0
<i>bzip2</i>	30	1.0334	3.2308	11

**Iron Maiden – Sign Of The Cross**

<i>parametry wywołania</i>	<i>czas kompresji</i>	<i>CR</i>	<i>CP</i>	<i>czas dekompresji</i>
<i>vlak -p 1 -m 2 -b 4608</i>	32	1.6819	40.5449	23
<i>vlak -p 2 -m 2 -b 4608</i>	29	1.6356	38.8592	29
<i>vlak -p 3 -m 2 -b 4096</i>	135	1.6431	39.1411	135
<i>flac -0</i>	6	1.6770	40.3701	4
<i>flac -5</i>	13	1.7604	43.1939	4

<i>parametry wywołania</i>	<i>czas kompresji</i>	<i>CR</i>	<i>CP</i>	<i>czas dekompresji</i>
<i>flac -8</i>	111	1.7642	43.3180	4
<i>shorten</i>	6	1.6834	40.5978	3
<i>shorten -b 4608 -p 8</i>	11	1.6557	39.6042	4
<i>mac -c2000</i>	20	1.8210	45.0857	28
<i>mac -c3000</i>	23	1.8264	45.2483	31
<i>gzip</i>	13	1.1075	9.7032	3
<i>bzip2</i>	84	1.1764	14.9937	34

### **Wnioski**

Porównanie działania predyktorów wbudowanych we VLAKa jednoznacznie wskazuje, iż najlepszy z nich jest predyktor LPC (-p 1) (mimo zastosowania w powyższych testach metody adaptacyjnej, która – jak pokaże następny test – jest daleka od ideału). Daje on najwyższą efektywność kompresji a także, co ciekawe, najkrótszy czas dekompresji, zachowując czas kompresji na stosunkowo niskim poziomie.

Predyktor Wavelet (-p 3) wyraźnie zawodzi. Nie dość, że kompresja i dekompresja są bardzo wolne to efektywność jest niska – często niższa nawet od efektywności prostego predyktora FIR.

Predyktor FIR (-p 2) uzyskuje umiarkowane rezultaty. Można powiedzieć że jego efektywność jest wystarczająca, szczególnie gdy weźmiemy pod uwagę prostotę tego rozwiązania i minimalne nakłady obliczeniowe. FIR do kompresji nie potrzebuje FPU, tak więc może być używany w prostych urządzeniach przenośnych, np. dyktafonach (np. na kasety DAT).

Porównanie VLAKa z konkurencją nie wypada już tak dobrze. Oczywiście uzyskujemy znacznie lepsze wyniki niż standardowe archiwizery jak gzip czy bzip2 natomiast dedykowane rozwiązania dostępne na rynku uzyskują lepsze rezultaty.

VLAK może dawać minimalnie lepsze rezultaty niż SHORTEN. Jednak SHORTEN jest znacznie szybszy. Nie powinno to nikogo dziwić. VLAK nie został zoptymalizowany pod kątem szybkości działania, chodziło nam raczej o czytelność kodu źródłowego oraz prostotę dodawania nowych predyktorów. Natomiast SHORTEN jest już dosyć wiekowym kodekiem - rozwijany jest od 1992 roku, tak więc na pewno został porządnie zoptymalizowany pod tym kątem.

Kodek FLAC okazuje się nieznacznie (tzn. o ok. 2-3%) bardziej efektywny od naszego kodeka, jest także trochę szybszy. Należy zwrócić jednak uwagę że FLAC jest dużo bardziej rozbudowany – składa się z 2 predyktorów: FIR i LPC, ma większą ilość manipulatorów a przede wszystkim dzieli sygnał wejściowy na mniejsze porcje, zwane subframe'ami. Pozwala to wybrać dla każdego kanału inny predyktor. Dodatkowo FLAC potrafi adaptacyjnie dobierać predyktor oraz jego rząd. Poza tym zastosowany we FLACu koder entropii (oparty na koderze Rice'a) stosuje zaawansowaną metodę adaptacji.

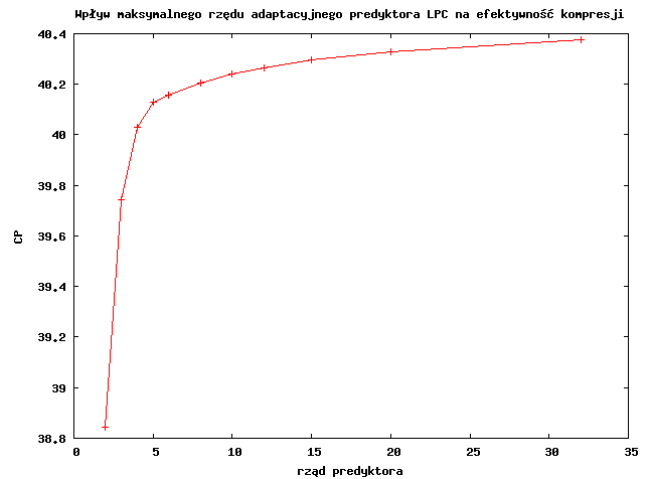
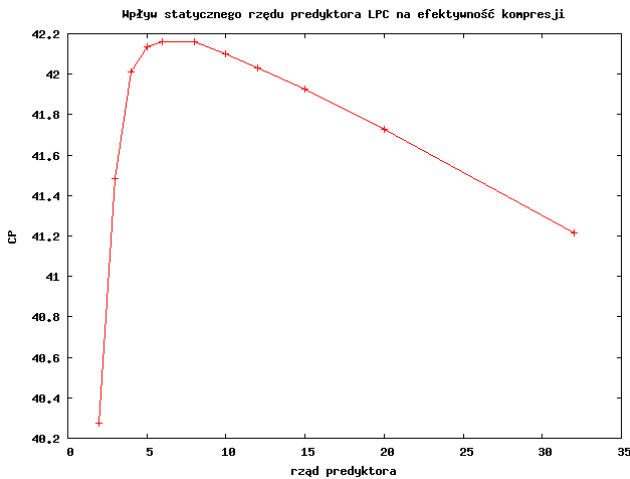


Monkey's Audio jest jednym z najlepszych obecnie kodeków bezstratnych. Zastosowany w nim schemat kompresji znacznie przewyższa wszystkie inne kodeki audio. Jedyną wadą Monkey's Audio jest stosunkowo długi czas dekompresji, dłuższy niż czas kompresji!

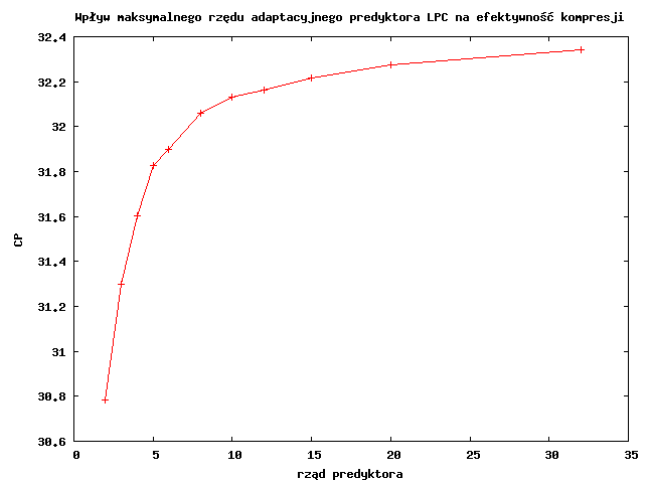
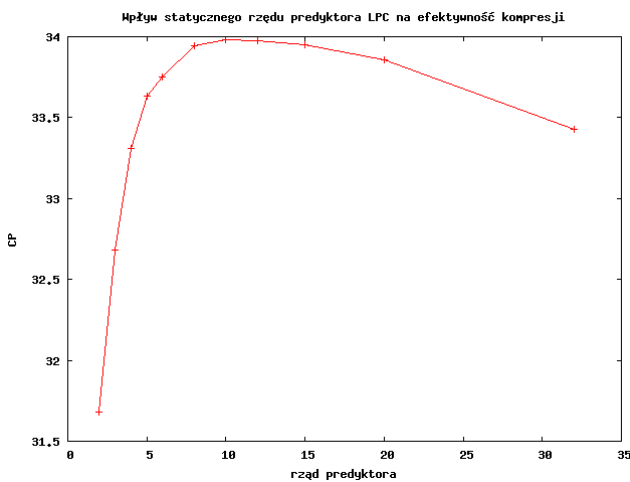
## Efektywność predyktora LPC dla metody adaptacyjnej i nieadaptacyjnej

Jest to de facto sprawdzenie jak dobrze radzi sobie metoda adaptacyjna w porównaniu z metodą z wyborem statycznego rzędu predyktora.

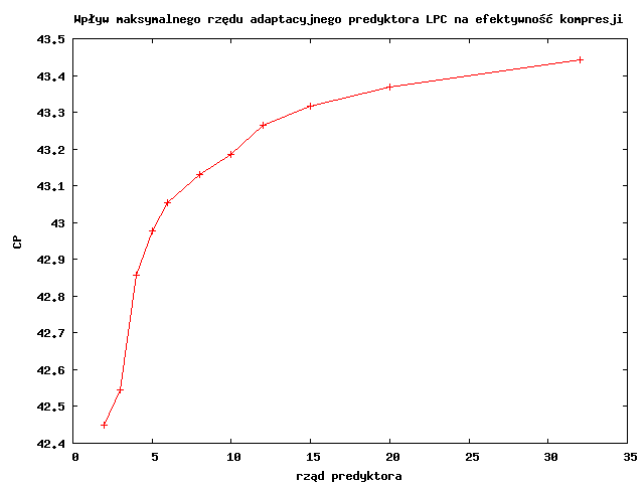
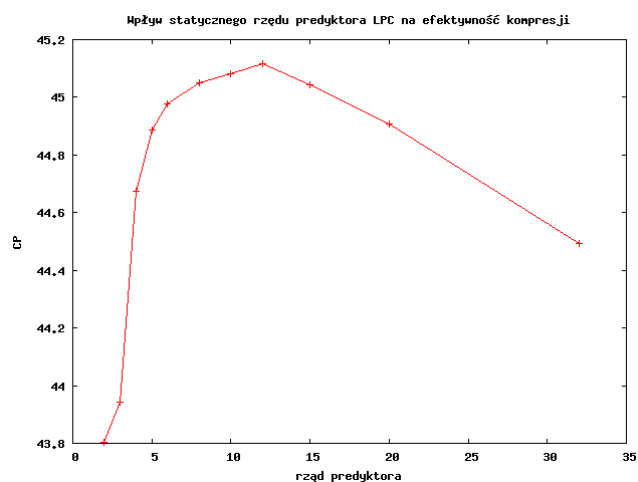
**Izrael – See I & I**



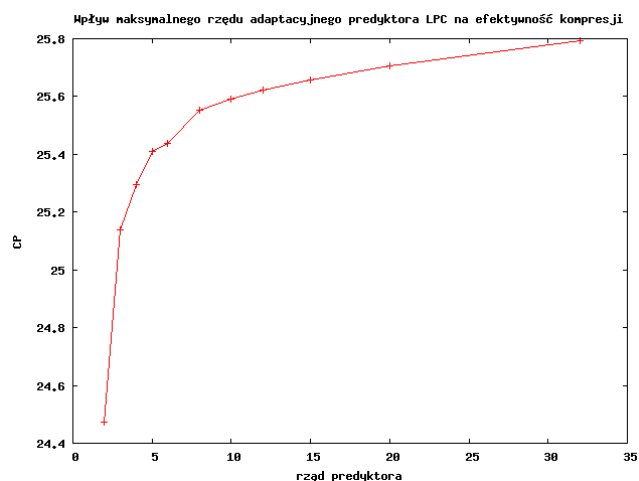
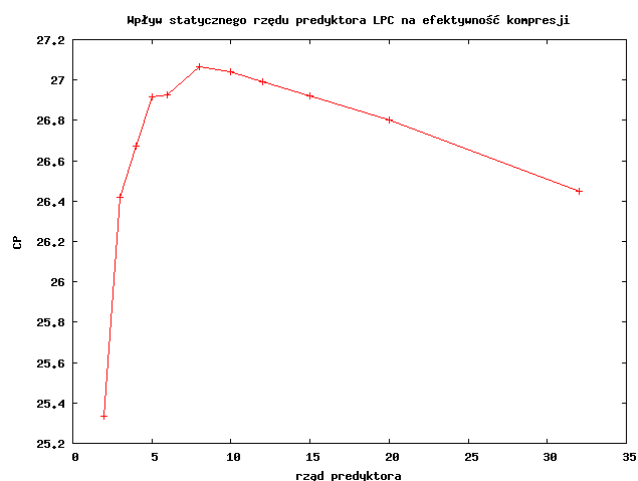
**Led Zeppelin – D'yer Mak'er**



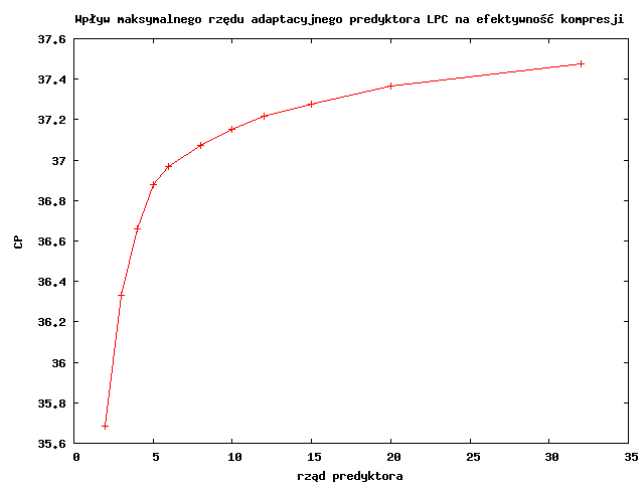
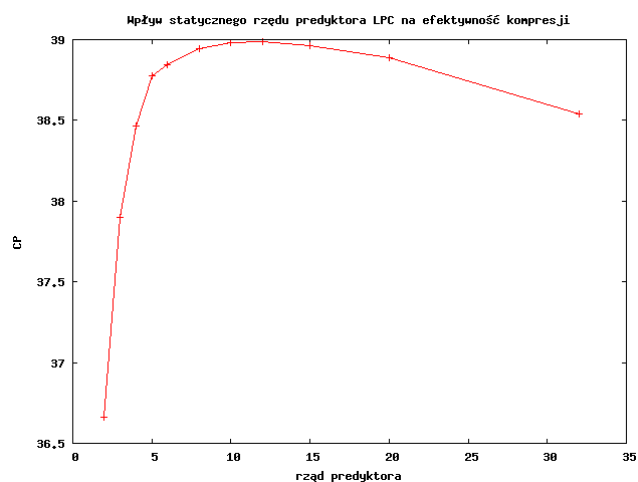
### Gladiator OST – Now We Are Free



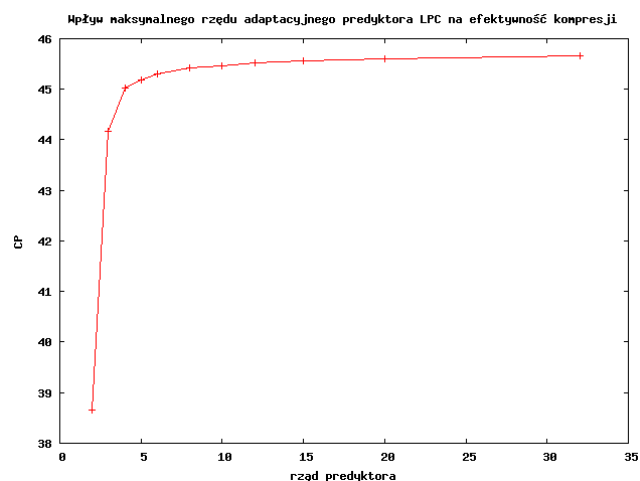
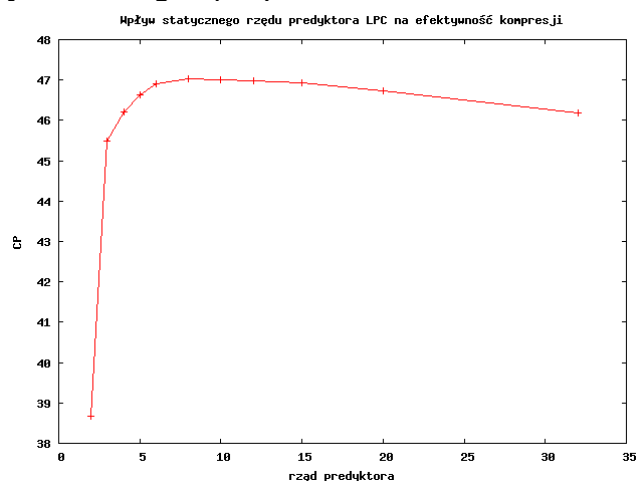
### Sweet Noise – 9/1

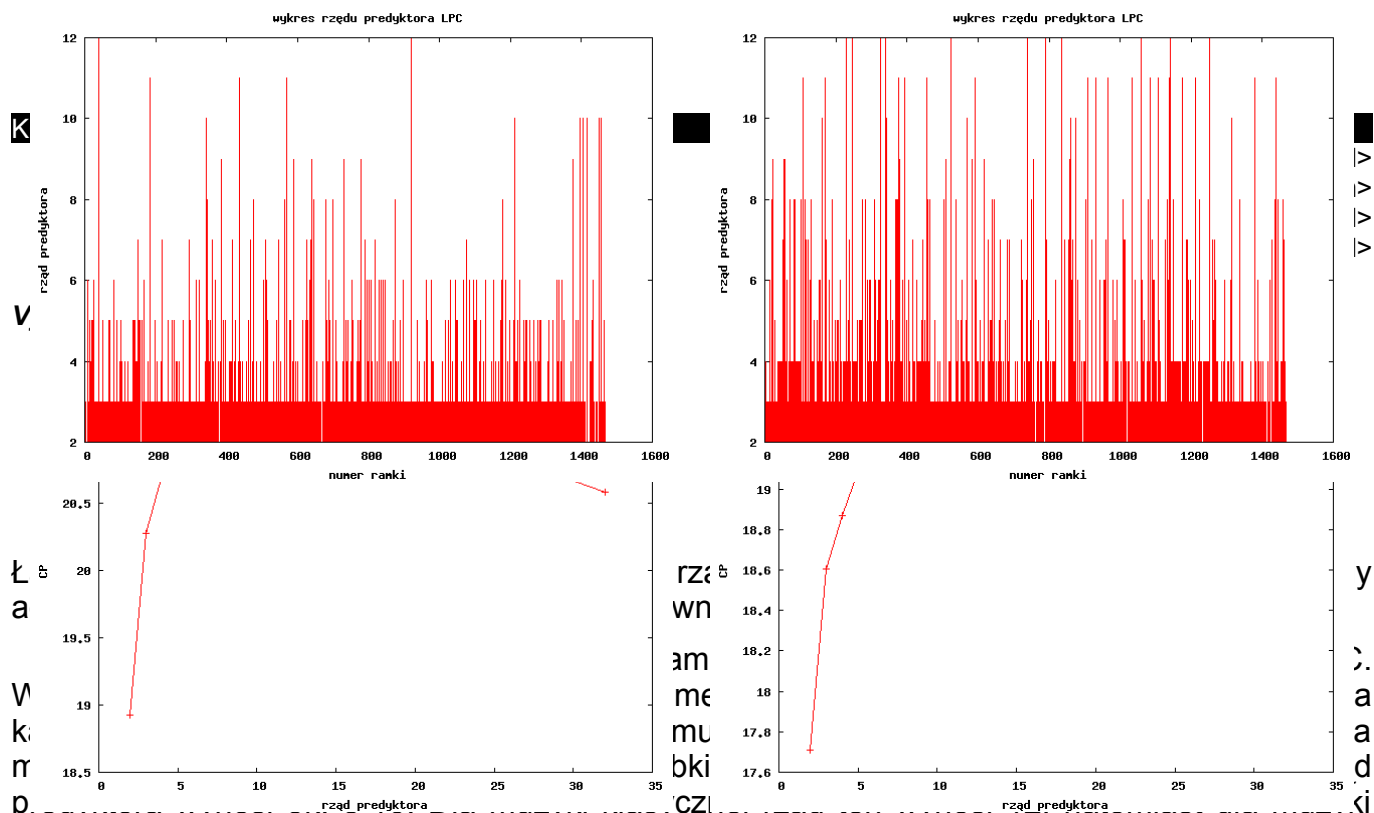


### Kult – Baranek



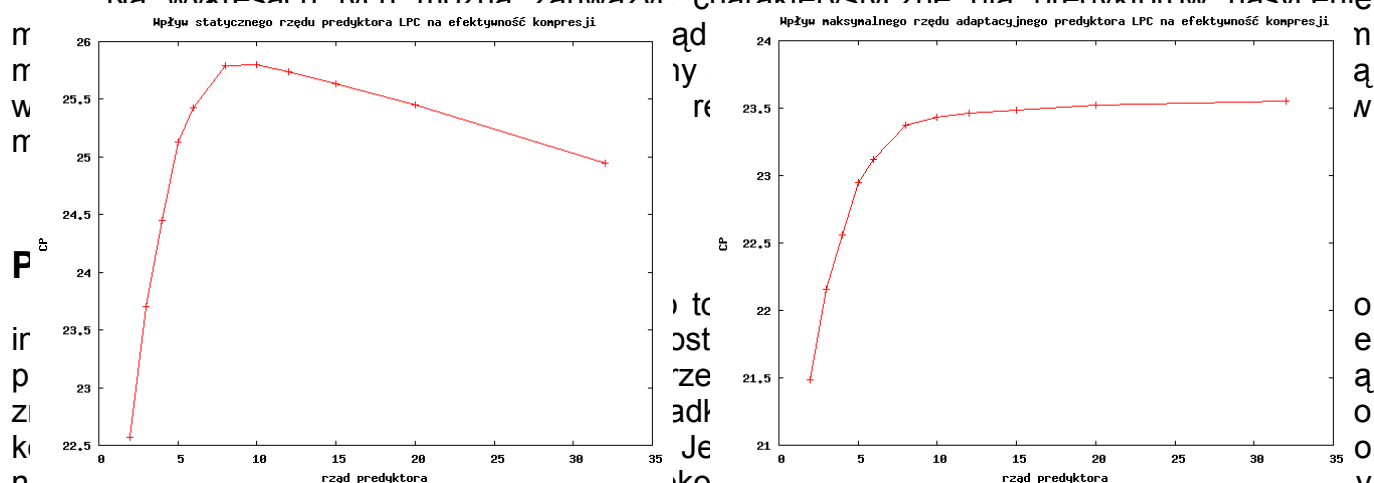
### Myslovitz – Zgon (live)





reggae tylko ok. 5. Potwierdza to konieczność stosowania metod adaptacyjnych. Jeśli chcemy stosować rząd statyczny to najlepszy będzie rząd równy 8, chociaż jest to tylko wskazówka.

### Turbo – Szalony / kar



Niewielką złożoność obliczeniową kompresji/dekompresji w kodach bezstratnych to dojdziemy do wniosku, że kodeki te mogą mieć praktyczne zastosowanie, tak jak to zostało wskazane na wstępie niniejszego sprawozdania.

### Iron Maiden – Sign Of The Cross

Zastosowane predyktory FIR i LPC są standardem w bezstratnej kompresji dźwięku. Natomiast z metodami bazującymi na FFT oraz falkową nie spotkaliśmy się w żadnym innym kodeku. Wyniki pomiarów pokazują dlaczego tak jest.

Kompresja falkowa jest bardzo wolna w porównaniu z pozostałymi metodami, rezultaty działania są często gorsze niż prostego predyktora FIR. Możliwe, że pozwalałaby osiągnąć najlepszy stopień kompresji, gdyby zastosować kodowanie entropii inne niż algorytm Rice'a. Biorąc jednak pod uwagę niesamowicie długi czas kompresji i dekompresji z wykorzystaniem kompresji falkowej dochodzimy do wniosku, że jej zastosowanie mija się z celem.

Kodek VLAK może zostać znacznie ulepszony, gdyż praktycznie na każdym etapie działania można próbować bardziej wyszukanych pomysłów:

- na etapie podziału na bloki bardzo dobrym rozwiązaniem byłoby adaptacyjne dobieranie rozmiaru bloku,
- na etapie dekorelacji międzykanałowej – należy dodać większą ilość tzw. manipulatorów oraz wybierać który z nich najlepiej dekoreluje sygnał,
- na etapie predykcji – stosowanie bardziej złożonych predyktorów niż LPC wydaje się nie mieć większego sensu. Proponowane usprawnienie polega na ulepszeniu adaptacyjności doboru rzędu tego predyktora,
- na etapie kompresji sygnału rezyduального należy spróbować wykorzystać inne algorytmy doboru parametru  $k$  dla kodera Rice'a, można też zastosować zupełnie inny koder, np. szybki koder arytmetyczny.

## Linki

Poniżej przedstawiamy zbiór interesujących odnośników do zasobów WWW związanych z tematyką bezstratnego kodowania dźwięku.

### Testy wydajnościowe

<http://flac.sourceforge.net/comparison.html>

<http://www.monkeysaudio.com/comparison.html>

<http://web.inter.nl.net/users/hvdh/lossless/lossless.htm>

<http://foobar2000.net/lossless/>

<http://members.home.nl/w.speek/comparison.htm>

<http://www.extremetech.com/article2/0,1558,1560783,00.asp>

### Teoria

<http://www.firstpr.com.au/audiocomp/lossless/#rice>

[http://www.bearcave.com/misl/misl\\_tech/wavelets/packet/index.html](http://www.bearcave.com/misl/misl_tech/wavelets/packet/index.html)

<http://www.monkeysaudio.com/theory.html>

[http://en.wikipedia.org/wiki/Linear\\_prediction](http://en.wikipedia.org/wiki/Linear_prediction)

<http://cnx.rice.edu/content/m10482/latest/>

<http://www.hpl.hp.com/techreports/1999/HPL-1999-144.pdf>

<http://www.cs.tut.fi/~rezaei/Lossless%20Audio%20Coding.pdf>

## Dodatek A: dane wejściowe dla wykresów

### rozmiary bloków

*Izrael – See I & I*

- FIR

<i>rozmiar bloku</i>	<i>czas kompresji [s]</i>	<i>CR</i>	<i>CP</i>
512	12	1.6401	39.0282
1024	12	1.6509	39.4252
1152	11	1.6520	39.4686
2048	12	1.6563	39.6241
4096	11	1.6591	39.7258
4608	12	1.6594	39.7377
5000	11	1.6596	39.7451
6000	12	1.6600	39.7583
8192	11	1.6605	39.7764
10000	12	1.6608	39.7866
16384	16	1.6612	39.8012
20000	11	1.6613	39.8061
32768	12	1.6613	39.8078

- LPC

<i>rozmiar bloku</i>	<i>czas kompresji [s]</i>	<i>CR</i>	<i>CP</i>
512	13	1.5714	36.3616
1024	13	1.6493	39.3675
1152	13	1.6584	39.7011
2048	13	1.6973	41.0835
4096	13	1.7253	42.0386

<i>rozmiar bloku</i>	<i>czas kompresji [s]</i>	<i>CR</i>	<i>CP</i>
4608	13	1.7289	42.1605
5000	13	1.7312	42.2354
6000	13	1.7347	42.3526
8192	13	1.7397	42.5175
10000	14	1.7431	42.6300
16384	15	1.7473	42.7692
20000	13	1.7473	42.7698
32768	14	1.7473	42.7691

- Wavelet

<i>rozmiar bloku</i>	<i>czas kompresji [s]</i>	<i>CR</i>	<i>CP</i>
512	23	1.5915	37.1674
1024	29	1.6089	37.8438
1152	74	1.3225	24.3841
2048	40	1.6182	38.2037
4096	65	1.6229	38.3804
4608	194	1.4406	30.5822
5000	181	1.4651	31.7438
6000	149	1.5171	34.0832
8192	113	1.6251	38.4654
10000	344	1.4921	32.9801
16384	201	1.6262	38.5078
20000	631	1.5082	33.6950
32768	391	1.6266	38.5231



**Led Zeppelin – D'yer Mak'er**

## ● FIR

<i>rozmiar bloku</i>	<i>czas kompresji [s]</i>	<i>CR</i>	<i>CP</i>
512	11	1.3801	27.5398
1024	10	1.3870	27.9033
1152	11	1.3878	27.9440
2048	10	1.3905	28.0841
4096	12	1.3923	28.1739
4608	11	1.3925	28.1841
5000	11	1.3926	28.1905
6000	10	1.3928	28.2036
8192	11	1.3932	28.2221
10000	10	1.3934	28.2314
16384	12	1.3937	28.2499
20000	10	1.3938	28.2530
32768	12	1.3940	28.2618

## ● LPC

<i>rozmiar bloku</i>	<i>czas kompresji [s]</i>	<i>CR</i>	<i>CP</i>
512	12	1.4273	29.9364
1024	12	1.4790	32.3851
1152	13	1.4850	32.6579
2048	13	1.5054	33.5742
4096	12	1.5142	33.9594
4608	12	1.5138	33.9410
5000	12	1.5134	33.9237

<i>rozmiar bloku</i>	<i>czas kompresji [s]</i>	<i>CR</i>	<i>CP</i>
6000	12	1.5112	33.8284
8192	12	1.5067	33.6277
10000	12	1.4998	33.3228
16384	13	1.4912	32.9382
20000	12	1.4916	32.9585
32768	13	1.4898	32.8763

- Wavelet

<i>rozmiar bloku</i>	<i>czas kompresji [s]</i>	<i>CR</i>	<i>CP</i>
512	20	1.4218	29.6664
1024	26	1.4326	30.1953
1152	63	1.1927	16.1541
2048	39	1.4381	30.4629
4096	71	1.4407	30.5904
4608	192	1.2936	22.6975
5000	160	1.3133	23.8533
6000	130	1.3549	26.1920
8192	95	1.4420	30.6529
10000	287	1.3359	25.1426
16384	178	1.4428	30.6905
20000	652	1.3490	25.8726
32768	389	1.4432	30.7084

### Gladiator OST – Now We Are Free

- FIR

<i>rozmiar bloku</i>	<i>czas kompresji</i>	<i>CR</i>	<i>CP</i>
512	11	1.6319	38.7206
1024	11	1.6425	39.1166
1152	10	1.6437	39.1606
2048	10	1.6479	39.3151
4096	10	1.6506	39.4150
4608	10	1.6509	39.4254
5000	11	1.6511	39.4329
6000	10	1.6514	39.4458
8192	10	1.6519	39.4654
10000	10	1.6522	39.4741
16384	12	1.6526	39.4898
20000	10	1.6527	39.4928
32768	11	1.6527	39.4943

- LPC

<i>rozmiar bloku</i>	<i>czas kompresji</i>	<i>CR</i>	<i>CP</i>
512	12	1.6748	40.2912
1024	12	1.7527	42.9457
1152	12	1.7622	43.2543
2048	12	1.7963	44.3309
4096	12	1.8178	44.9879
4608	12	1.8199	45.0506
5000	12	1.8221	45.1194
6000	12	1.8244	45.1873
8192	12	1.8272	45.2701

<i>rozmiar bloku</i>	<i>czas kompresji</i>	<i>CR</i>	<i>CP</i>
10000	12	1.8290	45.3266
16384	13	1.8316	45.4036
20000	13	1.8318	45.4092
32768	12	1.8314	45.3978

- Wavelet

<i>rozmiar bloku</i>	<i>czas kompresji</i>	<i>CR</i>	<i>CP</i>
512	19	1.7278	42.1238
1024	22	1.7475	42.7757
1152	55	1.4292	30.0321
2048	31	1.7584	43.1285
4096	52	1.7639	43.3089
4608	161	1.5554	35.7073
5000	149	1.5836	36.8512
6000	124	1.6436	39.1576
8192	91	1.7668	43.4012
10000	275	1.6131	38.0059
16384	180	1.7682	43.4440
20000	577	1.6307	38.6780
32768	362	1.7685	43.4560

## Sweet Noise – 9/1

- FIR

<i>rozmiar bloku</i>	<i>czas kompresji</i>	<i>CR</i>	<i>CP</i>
512	10	1.2717	21.3623

<i>rozmiar bloku</i>	<i>czas kompresji</i>	<i>CR</i>	<i>CP</i>
1024	10	1.2773	21.7087
1152	10	1.2779	21.7469
2048	10	1.2801	21.8820
4096	10	1.2816	21.9697
4608	10	1.2817	21.9795
5000	10	1.2818	21.9858
6000	10	1.2820	21.9982
8192	10	1.2823	22.0142
10000	10	1.2824	22.0225
16384	11	1.2827	22.0364
20000	10	1.2827	22.0409
32768	10	1.2828	22.0483

- LPC

<i>rozmiar bloku</i>	<i>czas kompresji</i>	<i>CR</i>	<i>CP</i>
512	11	1.3030	23.2549
1024	12	1.3436	25.5747
1152	12	1.3483	25.8310
2048	12	1.3639	26.6797
4096	11	1.3708	27.0491
4608	11	1.3711	27.0642
5000	11	1.3707	27.0446
6000	11	1.3708	27.0512
8192	11	1.3703	27.0259
10000	12	1.3692	26.9672

<i>rozmiar bloku</i>	<i>czas kompresji</i>	<i>CR</i>	<i>CP</i>
16384	13	1.3679	26.8932
20000	11	1.3673	26.8653
32768	12	1.3649	26.7322

- Wavelet

<i>rozmiar bloku</i>	<i>czas kompresji</i>	<i>CR</i>	<i>CP</i>
512	18	1.2998	23.0674
1024	22	1.3088	23.5969
1152	56	1.0967	8.8150
2048	35	1.3136	23.8757
4096	55	1.3161	24.0164
4608	163	1.1890	15.8932
5000	145	1.2058	17.0673
6000	121	1.2415	19.4527
8192	89	1.3172	24.0841
10000	269	1.2262	18.4486
16384	172	1.3178	24.1143
20000	535	1.2382	19.2352
32768	334	1.3180	24.1297

### Kult – Baranek

- FIR

# opts: -p 2 -m 2

512	10	1.5157	34.0253
1024	11	1.5247	34.4131
1152	10	1.5257	34.4561
2048	10	1.5292	34.6074
4096	11	1.5315	34.7058

4608	10	1.5318	34.7171
5000	10	1.5320	34.7242
6000	10	1.5323	34.7378
8192	11	1.5327	34.7563
10000	10	1.5329	34.7655
16384	12	1.5333	34.7819
20000	10	1.5334	34.7864
32768	11	1.5336	34.7946

## ● LPC

# opts: -p 1 -m 2 -l 8,8

512	12	1.5213	34.2662
1024	12	1.5858	36.9416
1152	13	1.5939	37.2618
2048	12	1.6215	38.3297
4096	13	1.6364	38.8892
4608	12	1.6378	38.9420
5000	12	1.6387	38.9761
6000	13	1.6381	38.9525
8192	12	1.6370	38.9120
10000	13	1.6357	38.8634
16384	14	1.6312	38.6951
20000	12	1.6300	38.6486
32768	19	1.6257	38.4879

## ● Wavelet

# opts: -p 3 -m 2

512	21	1.5041	33.5140
1024	23	1.5179	34.1216
1152	57	1.2570	20.4454
2048	33	1.5249	34.4208
4096	54	1.5282	34.5634
4608	165	1.3662	26.8053
5000	153	1.3880	27.9549
6000	129	1.4339	30.2625
8192	100	1.5299	34.6342
10000	303	1.4123	29.1911
16384	199	1.5307	34.6696
20000	599	1.4263	29.8893
32768	364	1.5311	34.6871

**Myslovitz – Zgon (live)**

## ● FIR

# opts: -p 2 -m 2

512	6	1.6405	39.0438
1024	6	1.6516	39.4524
1152	6	1.6528	39.4972
2048	6	1.6572	39.6561
4096	6	1.6600	39.7586
4608	6	1.6603	39.7695
5000	6	1.6605	39.7767
6000	6	1.6609	39.7909
8192	6	1.6614	39.8098
10000	6	1.6617	39.8190
16384	7	1.6621	39.8359
20000	10	1.6622	39.8404
32768	6	1.6625	39.8486

## ● LPC

# opts: -p 1 -m 2 -l 8,8

512	7	1.6503	39.4060
1024	7	1.7570	43.0844
1152	7	1.7697	43.4928
2048	7	1.8315	45.4008
4096	7	1.8806	46.8259
4608	7	1.8882	47.0386
5000	7	1.8926	47.1618
6000	7	1.8992	47.3476
8192	7	1.9124	47.7089
10000	7	1.9186	47.8796
16384	8	1.9288	48.1533
20000	7	1.9305	48.2012
32768	8	1.9359	48.3444

## ● Wavelet

# opts: -p 3 -m 2

512	19	1.4475	30.9140
1024	24	1.4594	31.4795
1152	71	1.2124	17.5187
2048	31	1.4653	31.7534
4096	71	1.4683	31.8943
4608	126	1.3180	24.1248
5000	102	1.3382	25.2711



6000	83	1.3807	27.5711
8192	56	1.4699	31.9680
10000	173	1.3613	26.5394
16384	107	1.4707	32.0064
20000	329	1.3744	27.2425
32768	207	1.4711	32.0258

## Vypsana Fixa – Palenie Titonia

### ● FIR

# opts: -p 2 -m 2

512	9	1.1804	15.2833
1024	8	1.1854	15.6434
1152	8	1.1861	15.6883
2048	9	1.1885	15.8599
4096	8	1.1908	16.0222
4608	8	1.1912	16.0491
5000	8	1.1914	16.0651
6000	9	1.1920	16.1077
8192	9	1.1928	16.1667
10000	8	1.1933	16.1970
16384	10	1.1945	16.2854
20000	8	1.1948	16.3011
32768	9	1.1954	16.3425

### ● LPC

# opts: -p 1 -m 2 -l 8,8

512	10	1.2077	17.1970
1024	10	1.2433	19.5676
1152	10	1.2474	19.8335
2048	10	1.2615	20.7263
4096	9	1.2694	21.2215
4608	10	1.2704	21.2872
5000	9	1.2702	21.2720
6000	10	1.2711	21.3297
8192	10	1.2710	21.3218
10000	9	1.2707	21.3024
16384	11	1.2705	21.2912
20000	9	1.2700	21.2571
32768	11	1.2694	21.2202

### ● Wavelet

# opts: -p 3 -m 2

512	15	1.1954	16.3463
1024	20	1.2031	16.8821
1152	48	1.0117	1.1609
2048	27	1.2071	17.1568
4096	46	1.2094	17.3112
4608	138	1.0973	8.8635
5000	129	1.1120	10.0733
6000	108	1.1435	12.5529
8192	80	1.2110	17.4206
10000	248	1.1315	11.6204
16384	165	1.2122	17.5070
20000	481	1.1433	12.5330
32768	274	1.2130	17.5624

### ***Turbo – Szalony Ikar***

#### ● FIR

# opts: -p 2 -m 2

512	9	1.2406	19.3929
1024	9	1.2459	19.7355
1152	9	1.2465	19.7748
2048	9	1.2485	19.9059
4096	9	1.2499	19.9907
4608	9	1.2500	19.9991
5000	9	1.2501	20.0049
6000	9	1.2502	20.0154
8192	9	1.2505	20.0304
10000	9	1.2506	20.0361
16384	10	1.2507	20.0468
20000	9	1.2508	20.0489
32768	9	1.2508	20.0482

#### ● LPC

# opts: -p 1 -m 2 -l 8,8

512	11	1.2699	21.2539
1024	10	1.3127	23.8183
1152	11	1.3179	24.1189
2048	10	1.3361	25.1566
4096	10	1.3464	25.7293
4608	11	1.3475	25.7906
5000	10	1.3482	25.8245
6000	10	1.3489	25.8661
8192	10	1.3484	25.8372

10000	10	1.3481	25.8188
16384	11	1.3454	25.6722
20000	10	1.3460	25.7057
32768	11	1.3450	25.6529

### ● Wavelet

# opts: -p 3 -m 2

512	16	1.2502	20.0153
1024	19	1.2594	20.5951
1152	51	1.0546	5.1808
2048	28	1.2638	20.8750
4096	47	1.2658	20.9992
4608	143	1.1447	12.6399
5000	135	1.1606	13.8358
6000	121	1.1943	16.2657
8192	88	1.2666	21.0515
10000	254	1.1804	15.2840
16384	167	1.2668	21.0630
20000	508	1.1919	16.0979
32768	307	1.2667	21.0555

### *Iron Maiden – Sign Of The Cross*

#### ● FIR

# opts: -p 2 -m 2

512	29	1.6171	38.1597
1024	33	1.6274	38.5530
1152	31	1.6286	38.5967
2048	31	1.6326	38.7498
4096	31	1.6353	38.8482
4608	29	1.6356	38.8592
5000	30	1.6358	38.8661
6000	29	1.6361	38.8797
8192	30	1.6366	38.8979
10000	29	1.6368	38.9069
16384	35	1.6373	38.9227
20000	31	1.6374	38.9272
32768	32	1.6376	38.9349

#### ● LPC

# opts: -p 1 -m 2 -l 8,8

512	42	1.5819	36.7839
1024	35	1.6565	39.6320

1152	37	1.6657	39.9639
2048	35	1.7022	41.2523
4096	34	1.7291	42.1676
4608	34	1.7323	42.2721
5000	36	1.7339	42.3280
6000	34	1.7387	42.4844
8192	34	1.7445	42.6776
10000	34	1.7472	42.7640
16384	38	1.7538	42.9809
20000	34	1.7539	42.9831
32768	36	1.7581	43.1215

## ● Wavelet

# opts: -p 3 -m 2

512	53	1.6129	38.0008
1024	63	1.6296	38.6370
1152	150	1.3418	25.4727
2048	89	1.6386	38.9714
4096	143	1.6431	39.1411
4608	433	1.4583	31.4281
5000	400	1.4831	32.5759
6000	335	1.5360	34.8960
8192	249	1.6454	39.2242
10000	745	1.5104	33.7907
16384	480	1.6465	39.2660
20000	1498	1.5263	34.4835
32768	889	1.6471	39.2869

## rząd LPC

*Izrael – See I & I*

# opts: -p 1 -m 2 -b 4608

2	11	1.6743	40.2725
3	11	1.7089	41.4833
4	12	1.7244	42.0094
5	12	1.7282	42.1378
6	13	1.7289	42.1600
8	14	1.7289	42.1605
10	15	1.7271	42.0987
12	16	1.7251	42.0313
15	17	1.7219	41.9240
20	20	1.7161	41.7280
32	25	1.7012	41.2171

```
# opts: -p 1 -m 2 -b 4608
2      11      1.6351 38.8423
3      12      1.6595 39.7414
4      11      1.6674 40.0279
5      12      1.6702 40.1282
6      12      1.6710 40.1569
8      12      1.6724 40.2048
10     12      1.6733 40.2396
12     13      1.6740 40.2638
15     13      1.6749 40.2964
20     15      1.6758 40.3275
32     17      1.6772 40.3769
```

### ***Led Zeppelin – D'yer Mak'er***

```
# opts: -p 1 -m 2 -b 4608
2      11      1.6743 40.2725
3      11      1.7089 41.4833
4      12      1.7244 42.0094
5      12      1.7282 42.1378
6      13      1.7289 42.1600
8      14      1.7289 42.1605
10     15      1.7271 42.0987
12     16      1.7251 42.0313
15     17      1.7219 41.9240
20     20      1.7161 41.7280
32     25      1.7012 41.2171
```

```
# opts: -p 1 -m 2 -b 4608
2      11      1.6351 38.8423
3      12      1.6595 39.7414
4      11      1.6674 40.0279
5      12      1.6702 40.1282
6      12      1.6710 40.1569
8      12      1.6724 40.2048
10     12      1.6733 40.2396
12     13      1.6740 40.2638
15     13      1.6749 40.2964
20     15      1.6758 40.3275
32     17      1.6772 40.3769
```

**Gladiator OST – Now We Are Free**

# opts: -p 1 -m 2 -b 4608

2	10	1.7795	43.8046
3	11	1.7839	43.9423
4	11	1.8075	44.6750
5	12	1.8145	44.8879
6	12	1.8174	44.9756
8	13	1.8199	45.0506
10	13	1.8208	45.0804
12	14	1.8220	45.1158
15	15	1.8196	45.0416
20	18	1.8151	44.9065
32	23	1.8016	44.4934

# opts: -p 1 -m 2 -b 4608

2	10	1.7376	42.4499
3	10	1.7405	42.5444
4	11	1.7500	42.8556
5	11	1.7537	42.9774
6	14	1.7561	43.0545
8	11	1.7584	43.1297
10	11	1.7601	43.1858
12	12	1.7625	43.2635
15	12	1.7642	43.3160
20	13	1.7658	43.3678
32	15	1.7681	43.4429

**Sweet Noise – 9/1**

# opts: -p 1 -m 2 -b 4608

2	10	1.3393	25.3346
3	11	1.3591	26.4201
4	11	1.3637	26.6727
5	11	1.3683	26.9172
6	12	1.3685	26.9266
8	12	1.3711	27.0642
10	13	1.3706	27.0409
12	14	1.3697	26.9935
15	15	1.3684	26.9202
20	17	1.3662	26.8042
32	23	1.3596	26.4491

# opts: -p 1 -m 2 -b 4608

2	9	1.3240	24.4728
---	---	--------	---------

3	10	1.3358	25.1380
4	10	1.3386	25.2943
5	10	1.3406	25.4084
6	12	1.3412	25.4384
8	11	1.3433	25.5544
10	11	1.3439	25.5903
12	12	1.3445	25.6234
15	12	1.3451	25.6579
20	12	1.3460	25.7058
32	14	1.3476	25.7944

### ***Kult – Baranek***

```
# opts: -p 1 -m 2 -b 4608
```

2	10	1.5788	36.6624
3	11	1.6103	37.9010
4	11	1.6251	38.4651
5	12	1.6333	38.7745
6	13	1.6352	38.8469
8	13	1.6378	38.9420
10	14	1.6389	38.9827
12	15	1.6391	38.9893
15	16	1.6383	38.9598
20	19	1.6364	38.8905
32	24	1.6271	38.5406

```
# opts: -p 1 -m 2 -b 4608
```

2	10	1.5548	35.6842
3	11	1.5707	36.3332
4	10	1.5788	36.6597
5	10	1.5843	36.8793
6	11	1.5865	36.9697
8	12	1.5892	37.0737
10	12	1.5912	37.1543
12	13	1.5927	37.2145
15	13	1.5943	37.2773
20	13	1.5966	37.3653
32	16	1.5994	37.4770

### ***Myslovitz – Zgon (live)***

```
# opts: -p 1 -m 2 -b 4608
```

2	6	1.6303	38.6630
3	6	1.8349	45.4996

4	7	1.8589	46.2040
5	7	1.8738	46.6326
6	7	1.8834	46.9042
8	8	1.8882	47.0386
10	8	1.8872	47.0101
12	9	1.8863	46.9859
15	10	1.8839	46.9187
20	11	1.8769	46.7207
32	16	1.8579	46.1749

# opts: -p 1 -m 2 -b 4608

2	7	1.6303	38.6604
3	7	1.7914	44.1784
4	7	1.8192	45.0302
5	7	1.8244	45.1860
6	7	1.8281	45.2981
8	7	1.8325	45.4309
10	7	1.8339	45.4709
12	7	1.8355	45.5195
15	7	1.8369	45.5617
20	8	1.8384	45.6041
32	10	1.8400	45.6525

### ***Vypsana Fixa – Palenie Titonia***

# opts: -p 1 -m 2 -b 4608

2	8	1.2334	18.9222
3	8	1.2543	20.2756
4	9	1.2612	20.7117
5	10	1.2671	21.0788
6	9	1.2679	21.1297
8	10	1.2704	21.2872
10	11	1.2718	21.3712
12	12	1.2714	21.3490
15	13	1.2702	21.2706
20	14	1.2671	21.0805
32	19	1.2592	20.5839

# opts: -p 1 -m 2 -b 4608

2	8	1.2152	17.7094
3	8	1.2286	18.6061
4	9	1.2326	18.8678
5	8	1.2360	19.0909
6	8	1.2367	19.1420



8	11	1.2388	19.2760
10	9	1.2402	19.3696
12	9	1.2409	19.4149
15	10	1.2415	19.4541
20	10	1.2420	19.4819
32	12	1.2426	19.5264

***Turbo – Szalony Ikar***

# opts: -p 1 -m 2 -b 4608

2	8	1.2914	22.5665
3	9	1.3106	23.6984
4	9	1.3236	24.4482
5	9	1.3356	25.1269
6	10	1.3409	25.4258
8	11	1.3475	25.7906
10	11	1.3477	25.7999
12	12	1.3466	25.7399
15	13	1.3448	25.6385
20	15	1.3414	25.4493
32	20	1.3324	24.9448

# opts: -p 1 -m 2 -b 4608

2	8	1.2736	21.4820
3	9	1.2846	22.1549
4	9	1.2913	22.5580
5	9	1.2978	22.9477
6	9	1.3007	23.1201
8	10	1.3051	23.3763
10	10	1.3061	23.4360
12	10	1.3066	23.4653
15	10	1.3069	23.4845
20	11	1.3075	23.5201
32	13	1.3081	23.5523

***Iron Maiden – Sign Of The Cross***

# opts: -p 1 -m 2 -b 4608

2	29	1.6848	40.6465
3	29	1.7166	41.7458
4	30	1.7260	42.0627
5	31	1.7305	42.2139
6	31	1.7310	42.2291
8	34	1.7323	42.2721
10	36	1.7320	42.2640

12	40	1.7307	42.2195
15	44	1.7278	42.1244
20	50	1.7226	41.9474
32	63	1.7070	41.4194

# opts: -p 1 -m 2 -b 4608

2	27	1.6515	39.4488
3	29	1.6690	40.0852
4	30	1.6744	40.2765
5	31	1.6771	40.3732
6	32	1.6782	40.4132
8	31	1.6801	40.4794
10	31	1.6811	40.5145
12	32	1.6819	40.5449
15	33	1.6826	40.5681
20	38	1.6834	40.5969
32	41	1.6843	40.6264